東北地方におけるマツカレハ被害の発生と被害予測 のための幼虫密度推定法に関する研究

山家敏雄(1)

Yanbe, Toshio: Studies on Pine Defoliation by *Dendrolimus spectabilis* (Butler) and Estimation of the Larval Density in Tohoku District

要 旨:東北地方におけるマッカレハの発生は、1955 年頃が最も多く、その後減少したが、1975、1985 年には再び増加した。特に、1985 年岩手県で大量の枯損を伴う被害が発生した。そこで、その原因を明らかにし、被害予測を可能にするための調査を行った。その結果、最近の被害増加の原因の一つとして黄彊病の発生率の低下が考えられた。また、被害予測をするために生息密度を推定する最適時期は、ソメイヨシノの開花日の頃であることが分かった。しかし、東北地方における越冬明け後の幼虫の発育速度のばらつきや、2 化地帯の幼虫の発育速度の地理的変異についてはまだ未解明の部分が残された。これらが解明されれば、さらに高い精度の密度推定が可能となり、被害発生予測法の確立に至ると考えられる。

1 は じ め に

マッカレハ Dendrolimus spectabilis (Butler) はマッ林にしばしば大発生して針葉を食害する重要な森林害虫の一種で、古くからその生活史や生理的性質、あるいは被害解析や防除試験など数多くの研究結果が報告されている(五十嵐、1982)。しかし、本種の大発生を予測するための発生消長に関する研究は、林分内の生息個体数を正確に把握することが困難であることから、これが障害となってあまり進んでいない現状にある。

森林を虫害から保護するためには,まず害虫を早期に発見し,被害に至る前に予防対策をたてなくてはならない。そのためには対象害虫の発生する時期と発生量を的確に把握しておくことが大切である。また,害虫の発生状態を知るには適切なサンプリング法の確立も必要となる。そのうえで森林を定期的に巡回し,それぞれの対象害虫ごとの発生状態を観察記録する。しかし,これらの仕事は大変手数と労力がかかることから,これまで 2~3 の害虫について試みられているにすぎない。

最近東北地方においてはマッカレハの大発生が目立ち、岩手県でも大量の枯死木が発生する被害が報告されている(佐藤ほか、1987 a, b)。このような状況のなかで、1975年に東北地方では初めて宮城県下で発生が確認されたマッ材線虫病の被害が、福島・岩手・山形そして秋田県へと年々拡大してきた。そして、本病の未発生地へのまん延定着において、マッカレハに食害された衰弱、枯死木が材線虫病の媒介者マッノマダラカミキリの好適な産卵対象として重要な役割を果たしていることが明らかになった

(佐藤ほか、1985)。そのため、マッカレハの被害は食害による成長量の減退という経済的な損失だけでなく、マッ材線虫病の感染源としても重視する必要が生じてきた。

著者はマッカレハの発生消長に関する研究として、マッ類の針葉を食害する本種の幼虫期の生息密度を推定する方法をこれまで検討してきた(山家、1984・1987)。マッカレハ幼虫(Photo 1, 2)の生息密度の推定は、樹高の低い幼齢林においては幼虫を直接肉眼で観察し、計測することができるが、樹高の高い壮齢林などでは、直接肉眼による観察は不可能である。ただし、東北地方のような寒冷地帯においては、秋期に越冬のため幼虫が樹幹を下降する習性を利用した樹幹紙巻法によって、越冬期の生息密度を推定することが可能である。本論では、最近における東北地方のマッカレハの発生動向、被害解折結果を述べたあと、越冬明け幼虫の密度推定法、被害許容水準の判定などについて報告する。

この研究を行うにあたり、供試虫の採集にご協力をいただいた森林総合研究所森林生物部森林動物科長滝沢幸雄氏、同生物管理科昆虫管理研究室長吉田成章氏、同東北支所保護部昆虫研究室主任研究官五十嵐豊氏、同元関西支所主任研究官奥田素男氏、東京大学北海道演習林芝野伸策氏、宮城県林業試験場研修部主任主査小松利昭氏、元山形県林業試験場経営環境部長斉藤 諦氏、福島県林業指導課主任専門技術員在原登志男氏、富山県林業試験場主任研究員西村正史氏、長崎県総合農林試験場育林科長宮崎徹氏、鹿児島県林業試験場主任研究員谷口 明氏に深く謝意を表する。また、被害地の調査では岩手県林業試験場林産部長佐藤平典氏、岩手県自然保護課鳥獣保護係長小林光憲氏にご協力をいただいた。ここに深く感謝する。本報告の公表にあたり、ご助言とご校閲を賜った森林総合研究所東北支所保護部長由井正敏博士、並びにご指導とご校閲を賜った同保護部昆虫研究室長槇原 寛氏に深く感謝する。また、同昆虫研究室研究員鎌田直人氏にはつねにご協力いただき深く謝意を表する。

2 東北地方におけるマツカレハの発生動向

2.1 東北地方における大発生の推移

東北地方におけるマツカレハの大発生の記録は古く、宮下(1961)によると 1886 年福島県下から初めて報告されている。その後岩手県に 1912 年、1928 年、1932 年、1934~1935 年と続いて発生が記録されている。しかし、組織的に調査が行われるようになったのは第二次世界大戦後のことで、1950 年に「松くい虫等その他森林病害虫の駆除予防に関する法律」が施行されてからである。この法律は 1952 年「森林病害虫等防除法」と改められ、マツカレハなど 9 種が政令で定める森林病害虫となり、いわゆる法定害虫として本格的な防除措置がとられるようになった。従って、1950 年以降はマツカレハの発生の推移が全国的に記録されるようになった。

東北地方の発生の推移を、1950 年度「森林害虫被害調査報告」、1951~1960 年度までの「森林有害動植物被害報告」、1961~1979 年度までの「森林病害虫等被害報告」(いづれも林野庁発行)、1980~1990年度までは東北各県報告の資料によって(ただし、福島県を除く)まとめると Fig. 1 に示すとおりである。被害面積は 1954 年が最も多く 10 000 ha に達し、その後は増減を繰り返しながら 1965 年には1600 ha まで減少した。1965 年以降は 1 000 ha 前後で推移し、1975 年に突発的に 5 000 ha に増加するが、その後は再び 1 000 ha 以下となった。しかし、1982 年以降増加の傾向を示し、1986 年には

5000 ha に達したが、現在は1000 ha 以下まで減少している。

大発生がどのような環境下で起きたかをこの資料から推測することは困難であるが,神谷(1953)や 近藤ら(1953, 1963)はマツカレハの発生環境は、丘陵地のマツ単純林で、周囲の林況もマツの単純林 か広葉樹との混交林の場合が多いこと、また樹齢は20年生以内が多く、被害は若齢林ほど甚だしいと 述べている。木村(1952)は東北地方における大発生のピーク前の 1951 年に宮城・岩手両県の大発生 を報告しているが、そのほとんどが 15〜40 年生の官行造林地であった。このことから比較的原野状態 に近い公有林野に造林されたアカマツが,1955年ころには 20年生前後の林分となり,マツカレハの発 生しやすい条件が備わったため、被害面積が拡大したと考えられる。

一方, 東北地方で被害の最も激しかった 1955 年から 1962 年までの大発生地を Fig. 2 に示した。こ れによると最も被害発生の広汎な地域は太平洋側では、宮城県北部を中心に岩手県南部の北上川流域の アカマツ林 (A), 次いで青森県東部のアカマツ林と海岸クロマツ林 (B) である。日本海側では青森, 秋田,山形各県の海岸クロマツ(C,D,E)及び内陸部の秋田県横手盆地(F)と山形県米沢盆地(G) である。これらの地域は神谷(1953)や近藤ら(1953、1963)の指摘する丘陵のアカマツ単純林や海岸 クロマツ林であることが多い。これら過去に被害経歴のある地域では今後十分に警戒すべきである。

2.2 最近のマツカレハ被害発生の特徴

最近のマツカレハの大発生による被害の特徴として、大面積にわたる枯損被害があげられる(佐藤ほ か、1987)(Photo 3, 4, 5)。従来はマツが枯死するような被害が起こる以前に、マツカレハの発生が 終息する例が多かった。

第二次世界大戦後、全国的なマツカレハの大発生が続いたため、1955年になって林野庁並びに林業 試験場(現 森林総合研究所)はマツカレハの発生消長調査を始めた(藍野, 1957)。この調査の目的 にはマツカレハの発生量の変動要因として黄彊病菌* がどの程度の因子として作用しているかを知ると 同時に、これを応用面に生かす技術の向上のための基礎研究も含まれていた。そこで、この調査期間中 に林業試験場の本・支場が行った越冬幼虫の飼育と,著者が最近各地産の幼虫の個体飼育を行った資料 に基づいて、この黄彊病の罹病率を示すと Table 1 のとおりである。

この結果によると 1955~1967 年ころまでは 0% はほとんどなく、最高 37.6% とかなり寄生率が高い 地域が多かった。これに対し、最近の飼育結果によると青梅産と利府産を除くとほとんど発病は皆無で ある。このように以前は生息密度が高まるにつれて、黄彊病の罹病率も高まり、密度上昇を抑える環境 抵抗の一つの要因となっていたのではないかと考えられる。最近は黄彊病の罹病率の低下により、密度 制御要因としての作用が弱まったため、大発生を引き起こし、これが枯損被害の発生につながっている のではないかと推測された。

以上のように、マツカレハの発生は、一次的にはマツの単純林が大面積に造成されることによって拡 大されることになるが、これと併せて環境抵抗の一要因であった黄彊病の罹病率の低下が、激害型被害

^{*} 黄彊病菌は従来,我が国では学名を Isaria (Spicaria) farinosafa FR. にしていたのが通例であった。しかし, 青木ら(1975)は黄彊病症状を呈している各種の野外昆虫から分離した菌を同定した結果 Beauveria bassiana (BALS.) VUILL が圧倒的に多いことを報告した。従って、マツカレハの黄彊病もこの Beauveria bassiana に よるものと推定される。

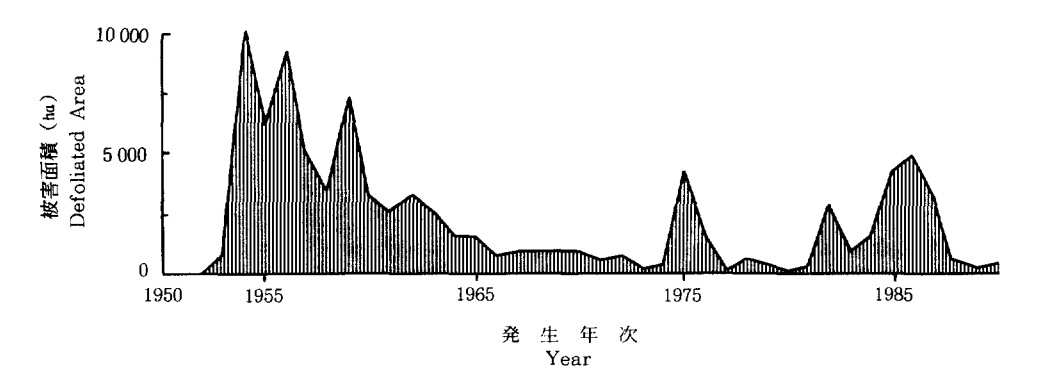
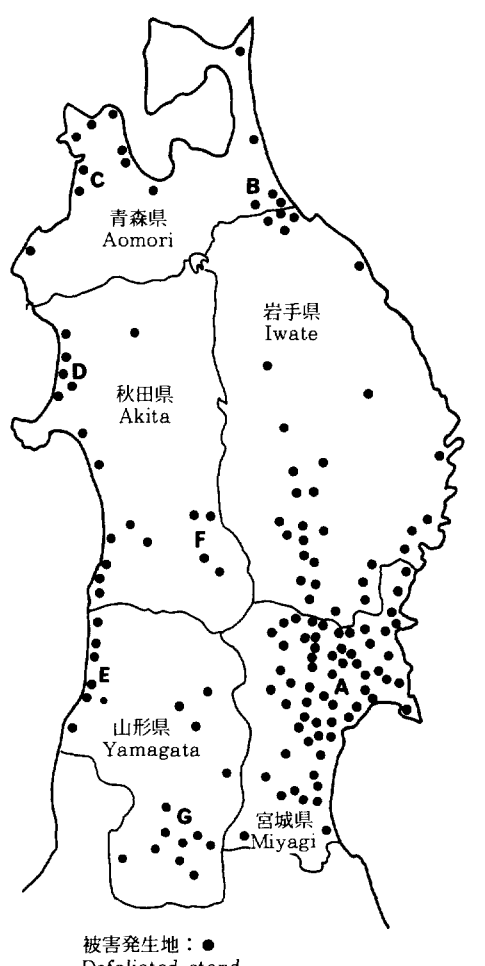


Fig. 1 東北地方におけるマツカレハ被害発生面積の推移(福島県を除く. 1950-1990)

Annual changes of the area of pine forest defoliated by *Dendrolimus spectabilis* (Butler) in Tohoku District except for Fukushima Prefecture from 1950 to 1990.



被害発生地:● Defoliated stand 被害発生地の地域区分:A-G Regional clustering of defoliated stands

Fig. 2. 東北地方におけるマッカレハ被害発生地の分布(福島県を除く、1955-1962) Distribution of pine forests defoliated by *Dendrolimus spectabilis* (BUTLER) in Tohoku District except for Fukushima Prefecture from 1955 to 1962.

Table 1. 越冬幼虫の黄彊病罹病率 Percentage of *Dendrolimus spectabilis* larvae infested by *Beauveria bassiana* after overwintering.

No.	供試虫の 採集地				飼育年月				飼育頭数頭	黄彊病の 罹 病 率
	Location		on	Date					No. of Larvae	Percentage of larvae infested by <i>B. bassiana</i>
1	熊本	立日	ĦЩ	Tatsutayam	a	1952.	Jun.		45	2.0
2	佐賀	大	浦	Ooura	1958.	Mar	~1964.	May	52~481	0~28.9
3	熊本	金曲	夆山	Kinpoosan	1958.	Mar	~ 1964.	May	92~156	1.1~36.4
4	岩手	江	刺	Esashi		1959.	May		156	2.0
5	岩手	冮	刺	Esashi		1960.	May		196	2.1
6	熊本	金	筝山	Kinpoosan		1960.	Jun.		51	15.7
7	茨城	村	松	Muramatsu		1960.	Jun.		100	3.0
8	青森	Ξ	沢	Misawa		1961.	May		283	2.1
9	岩手	江	刺	Esashi		1963.	Mar.		106	11.3
10	岩手	江	刺	Esashi		1964.	Mar.		152	11.8
11	岩手	江	刺	Esashi		1967.	Apr.		77	37.6
12	青森	Ξ	沢	Misawa		1978.	Apr.		120	0.0
13	岩手	滝	沢	Takizawa		1978.	Apr.		120	0.0
14	宮城	築	館	Tsukidate		1978.	Apr.		120	0.0
15	東京	青	梅	Oome		1978.	Apr.		120	1.7
16	岩手	好	摩	Kooma		1981.	Apr.		120	0.0
17	秋田	能	代	Noshiro		1983.	Jun.		50	0.0
18	宮城	利	府	Rifu		1985.	Apr.		120	5.0
19	福島	白	河	Shirakawa		1986.	Apr.		120	0.0
20	北海道	富月	シ野	Furano		1986.	Apr.		120	0.0

No. 1. 2. 3. 6 は倉永善太郎 (1975)

につながり、これがマッの大量枯損を招いたものと考えられる。そのため、これまでの被害発生地やマッの単純林の広がる地域にあっては、マッカレハの発生消長を常に予測しておくことが大切である。特にマッ材線虫病の発生地とその周辺では、マッカレハの被害が本病の感染源となることが実証されていることから(佐藤ほか前出)、この面からの監視が必要である。

3 被害の実態解析

3.1 幼虫の食害によるアカマツ林の被害解析

従来、東北地方においてはマツカレハ幼虫の食害によって、枯死木が発生する例は希であった。しか し、1985 年岩手県胆沢郡衣川村の衣川県行造林地(Ploto 3)において、本種の幼虫による針葉の食害 が原因となって、集団枯死が大面積にわたって発生した。こうした被害は材の経済的な損失のみならず、 前述したようにマツ材線虫病の発生地域においては、本病の媒介者であるマツノマダラカミキリの増殖

^{1, 2, 3,} and 6 are from Z. KURANAGA (1975)

にもつながり、被害拡大が懸念された。そこで、マツカレハによる被害と穿孔性害虫との関係を探るために、この林分の一部に調査地を設けて、被害程度と枯死木を加害した害虫の種構成について調査した(山家ほか、1986 b, 1987 b)。

3.1.1 調查地

調査地は岩手県胆沢郡衣川村国見山の東面(標高 400~600 m)に広がる県行造林地の約 30 年生のアカマツ林である。調査区は 1985 年 9 月 25 日に、激害林(約 50% 枯損)と微害林(約 10% 枯損)にそれぞれ設けた。林況は Table 2 に示した。

3.1.2 調査方法

(1) 着葉量の調査

1985 年 9 月 25 日調査区内の全立木について、樹冠部を上、中、下別に、マッカレハの幼虫の食害後の着葉量を、着葉の比率で表し、0% は 0、1% 以下を 0.3、1~10% を 1、10~30% を 3、30% 以上を 9 という評点を与え、単木ごとに上、中、下それぞれの評点を加えて記録した。このようにすると最も着葉量が少ない木が 0、最も多い木が 27 となる。この際枯死木の判定も併せて行った。

(2) 枯死木の樹幹加害虫の調査

調査は 1985 年 9 月, 1986 年 10 月, 1987 年 7 月の 3 回,被害発生後 3 年目まで行った。各年とも調査区内の枯死木を伐倒し、樹幹基部、樹幹中央部、樹幹枝下部、樹冠中央幹部の 4 か所について 50~100 cm の長さで剥皮して、樹皮下の加害虫の種類と占有程度を記録した。占有程度は剥皮部の 10%以下の占有を 1, 10~30% の占有を 3, 30%以上の占有を 9 という評点を与え、単木ごとに部位別を合計した数値を占有度とした。

3.1.3 調査結果及び考察

(1) 着葉量

調査区内の全立木を対象にマッカレハ幼虫の食害による着葉量の変化を示したのが Figs. 3, 4 である。

これによると激害林区では、被害当年の食害程度別本数が着葉量 0~21 までの間に分布し、そのほとんどが 7 以下である。このうち、枯死した立木の着葉量は 0~6 で、着葉量 0 では全部の立木が枯死した。その後の枯死木の発生は少なかったが、立木の枯死は 3 年目まで続いた。また、微害林区では被害当年はやはり激害林区と同じく、食害程度別本数が着葉量 0~21 までの間にあり、そのほとんどは 10 以下であった。枯死木は着葉量 0 と 1 の立木の一部に発生した。枯死木の発生はその後被害 2 年目では着葉量 0~4 までに、被害 3 年目では同 1~5 までに拡大した。このように微害林の枯死木の発生が激害林区より長く続いたのは、微害林区の枯死木は下層の衰弱木が多かったことによる。

(2) 枯死木の樹幹加害虫

枯死木の樹幹に穿入した害虫について、樹幹の部位別の占有度の最も大きい種を優占種とした。

激害林区では 1985 年に優占種として最も多かった種は調査全本数 46 本のうち, 54.3% で優占であったマツノムツバキクイムシ, 次いで 28.3% のマツキボシゾウムシ, 10.9% のシラホシゾウムシ属, 4.3% のニトベキバチ, 2.2% のキイロコキクイムシであった。マツノムツバキクイムシが優占種であ

Table 2. 調査区の林況 Study plots in pine forests

調査区 Plots	区の大きさ Area of quadrat (m)	成立本数 No. of standing trees (本)	胸高直径 D. B. H. (cm)	樹 高 Tree height (m)	
激 害 林 Heavily injured stand (ca. 50% of pine trees di	30×30	130	14.7	11.5	
微 害 林 Moderately injured stand (ca. 10% of pine trees d	20×70	219	13.1	10.5	

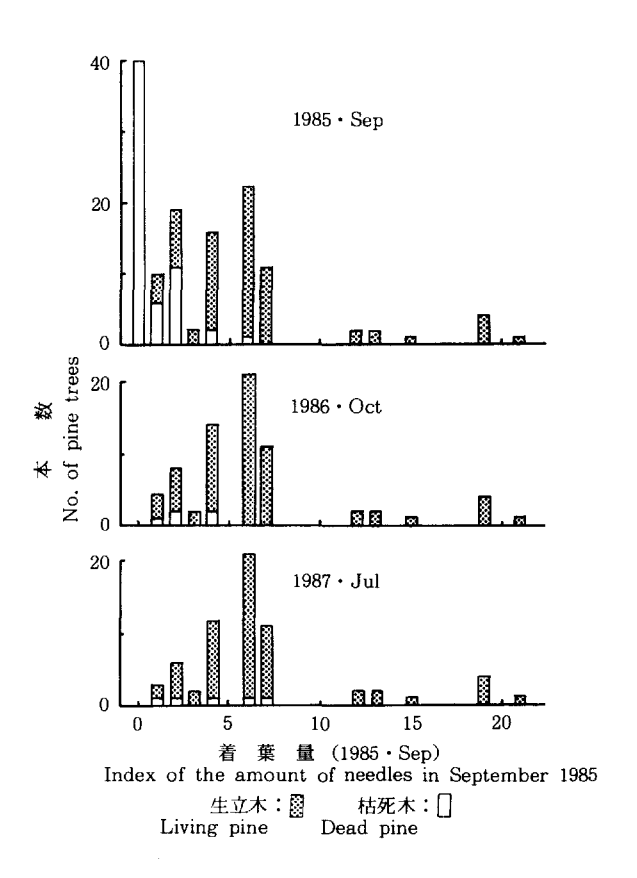


Fig. 3. 幼虫による食害程度別本数(激害林) Histogram of defoliation level by *Dendrolimus spectabilis* (Butler) in the heavily injured stand where ca. 50% of pine trees died.

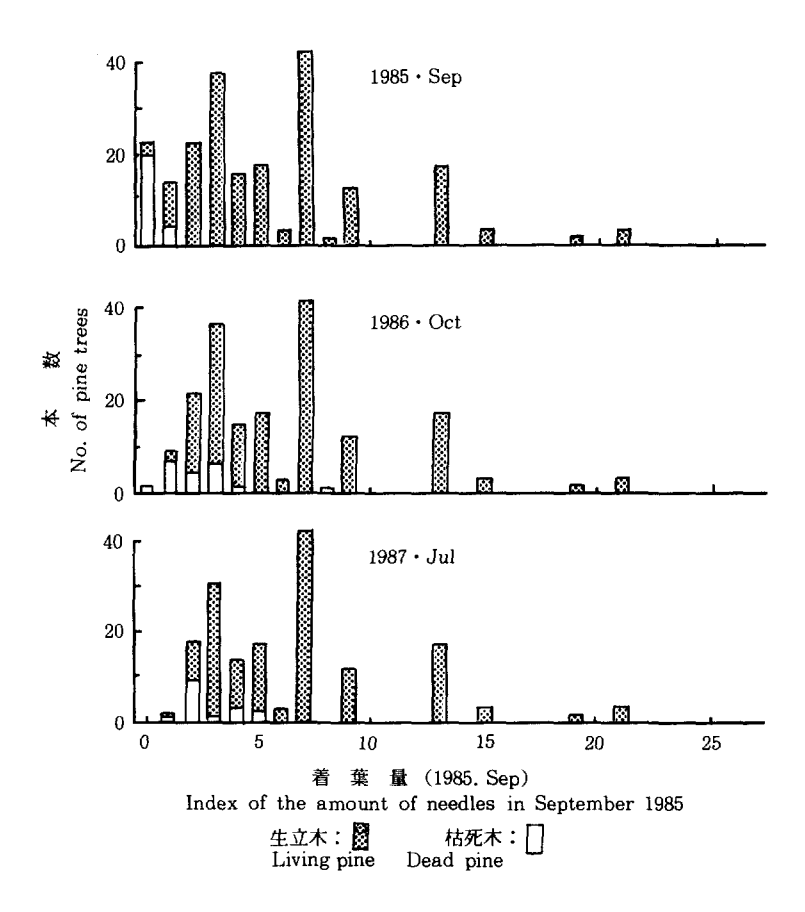


Fig. 4. 幼虫による食害程度別本数(微害林) Histogram of defoliation level by *Dendrolimus spectabilis* (BUTLER) in the moderately injured stand where ca. 10% of pine trees died.

った単木では次に多い種はマッキボシゾウムシ、シラホシゾウムシ属、ヒゲナガモモブトカミキリ、クロキボシゾウムシであった。マッキボシゾウムシが優占種であった単木では次に多い種はマッノキクイムシ、シラホシゾウムシ属、ヒゲナガモモブトカミキリ、キイロコキクイムシであった(Table 3)。 激害林区 1986 年ではわずか 5 本の枯損木であったが、優占種として最も多かった種は調査全本数の40.0% で優占であったマッキボシゾウムシとクロキボシゾウムシで、続いてマッノキクイムシの3種であった(Table 4)。被害3年目の1987年は優占種がニトベキバチの100.0% とさらに加害種は少なくなった(Table 5)。このことは針葉の食害による衰弱木は被害2年目までに加害虫によって枯死してしまい、残りの立木は健全木に移行したためと推測される。なお、この調査ではマッ材線虫病を媒介するマツノマダラカミキリは確認されなかった。

このように枯死木を加害した穿孔虫の種構成から、小田ら(1964)の枯損型の分類に従って枯損時期を検討してみると、優占種のマツノムツバキクイムシやシラホシゾウムシ属は夏期の衰弱木に寄生した

Table 3. 幼虫の食害による枯死木に対する加害虫(1985) Fauna of borers infesting pine trees which died after defoliation by *Dendrolimus* spectabilis (Butler) (1985).

激 害 林 Heavily injured stand (ca. 50% of pine trees died)

		Heavily in	jured stand	(ca. 50% c	of pine trees	died)		
D	優	占種		次ぎに多い種				
Dom	_	cies in a pi			J	ant species	<u> </u>	
		ソバキクイム: cuminatus		マツキボシ ゾウムシ	シラホシ ゾウムシ属	ヒゲナガモモ ブトカミキリ	クロキボシ ゾウムシ	
		LLENHAL)		Pissodes nilidus	Shiraho- shizo	Acanthoci- nus griseus		
				(Roelofs)	311120	(Fabricius)		
本 数	胸高直径	着葉量	占有度	占有度	占有度	占有度	占有度	
No. of trees		Index of the amount	Index of species	Index of species	Index of species	Index of species	Index of species	
(構成比%)	(cm)	of needles	dominancy	dominancy	dominancy	dominancy	dominancy	
9	12.4	0.6	20.0(± 8.7)	$10.6(\pm 4.0)$				
8	18.0	1.6	$24.1(\pm 6.5)$	1	$9.4(\pm 5.2)$		1	
4	14.8	1.3	$30.3(\pm 7.2)$			$7.3(\pm 4.1)$	{	
1	14.0	2.0	36.0(-)				3.0 (-)	
3	13.3	1.7	$33.0(\pm 5.2)$					
計25(54.3)	平均14.5	1.4	$28.7(\pm 6.5)$					
		ドシゾウムシ		マツノキクイムシ	シラホシ	ヒゲナガモモ		
	Pissodes nilidus (Roelofs)				ゾウムシ属 Shiraho-	ブトカミキリ Acantho-	クイムシ Cryphalus	
			l	Tomicus piniperda	shizo	cinus	fulvus	
				(Linné)		griseus (Fabricius)	(Niijima)	
5	14.4	0.8	28.8(± 4.0)	$7.8(\pm 2.7)$				
3	15.3	0	$20.0(\pm 7.5)$		$5.0(\pm 3.5)$			
3	11.3	0.3	$18.3(\pm 8.5)$			7.0(± 3.5)		
2	13.0	0.5	$10.5(\pm 2.1)$				$10.5(\pm 2.1)$	
計13(28.3)	平均13.5	0.4	$19.4(\pm 7.5)$					
	シラホミ	ノゾウムシ属		ニトベキバチ	キイロコキ			
	Shir	ahoshizo		Sirex nitobei	クイムシ Cryphalus			
				(Matsumura)	fulvus			
4	17.0	0.0	14 5(±10 0)	$5.8(\pm 8.2)$	(Niijima)			
4 1	17.0 15.0	2.0 4.0	9.0(-)	0.0(± 0.4)	3.0 (-)			
計 5 (11.8)		3.0	11.8(± 9.5)					
ā (0 (11.0)			11.6(= 5.5)				<u> </u>	
		ベキバチ ĸ nitobei		シラホシ ゾウムシ属				
		SUMURA)		Shiraho-				
=104 + 5	7716-10-0		0.0(7.1)	shizo				
計2(4.3)		1.0	$8.0(\pm 7.1)$					
		コキクイムシ alus fulvus		マツキボシ ゾウムシ				
		IIJIMA)		Pissodes				
				nilidus (Roelofs)				
計1(2.2)	平均16.0	0	27.0(-)	9.0(-)				
	, , , , , , ,		Ĺ					

Table 4. 幼虫の食害による枯死木に対する加害虫 (1986) Fauna of borers infesting pine trees which died after defoliation by *Dendrolimus* spectabilis (Butler) (1986)

激 害 林 Heavily injured stand (ca. 50% of pine trees died)

					*		
Dom	優 iinant sp	占種 ecies in a p	ine tree	次ぎに多い種 Subdominant species			
	Pisso	ボシゾウムシ odes nilidus loeLofs)		マツノキ クイムシ Tomicus piniperda (LINNÉ)	サビカミキ リ Arhopalus rusticus (LINNÉ)		
本数 No. of trees (構成比%)		Index of the amount	占 有 度 Index of species dominancy	占 有 度 Index of species dominancy		占有度 Index of species dominancy	占 有 度 Index of species dominancy
1	19.0 11.0	2.0 1.0	27.0(-) 2.0(-)		1.0(-)		
計 2(40.0)	平均15.0	1.5	$14.5(\pm 17.7)$	9.0(-)	1.0(-)		
	Pissoo	ボシゾウムシ les obscurus Roelofs)		マツキボシ ゾウムシ Pissodes nilidus (Roelofs)	クイムシ Tomicus piniperda	キクイムシ Ips acumi- natus	ニトベキバチ Sirex nitobei (Matsumura)
1	20.0	2.0	19.0(-)	9.0(-)	9.0(-)		
1	16.0	4.0	18.0(-)	1.0(-)	9.0(-)	10.0(-)	2.0(-)
計 2(40.0)	平均18.0	3.0	$18.5(\pm 0.7)$	5.0(±5.6)	9.0(-)	10.0(-)	2.0(-)
	Tomic	/ キクイムシ cus pinipera Linné)	!a	マツキボシ ゾウムシ Pissodes nilidus (Roelofs)	シラホシ ゾウムシ属 Shiraho- shizo		
計1(20.0)	平均11.0	4.0	18.0(-)	12.0(—)	1.0(-)		

Table 5. 幼虫の食害による枯死木に対する加害虫 (1987) Fauna of borers infesting pine trees which died after defoliation by *Dendrolimus* spectabilis (Butler) (1987).

激 害 林 Heavily injured stand (ca. 50% of pine trees died)

I	優に Dominant specio ニトベ Sirex nitober	次ぎに多い種 Subdominant species クロキボシゾウムシ Pissodes obscurus(Roelofs)		
本数 No. of trees (構成比%)	胸高直径 D.B.H. (cm)	着葉量 Index of the amount of needles	占 有 度 Index of species dominancy	占 有 度 Index of species dominancy
計5(100.0)	平均 11.2	4.0	21.8 (±11.6)	1.0 (-)

ものであり、マツキボシゾウムシは前者よりも早い春期の衰弱木に寄生したものであって、ニトベキバ チはこれらよりさらに早い前年秋の衰弱木に寄生したものと推定される。以上のことから,この激害林 は 1984 年秋以前からマツカレハ幼虫の食害が,激しくなり,翌 1985 年に越冬した幼虫の食害がさらに 衰弱木を増す結果になったものと考えられる。

一方、微害林をみると、被害当年の1985年に優占種として最も多かった種は調査全本数22本の 27.3% で優占であったマツキボシゾウムシ,続いてキイロコキクイムシとサビカミキリの 18.2%,シ ラホシゾウムシ属とクロコブゾウムシの13.6%, マツノムツバキクイムシ, マツノキクイムシのそれ ぞれ 4.5% である(Table 6)。このように優占種の種類数が多いことは枯死木が比較的下層木であっ たことから衰弱が徐々に進み枯死の時期がそろわなかったためと考えられる。被害2年目も枯死木の数 は減らず 21 本で、優占種として最も多かった種もやはりマツキボシゾウムシで 42.8% であった。次い でサビカミキリとマツノキクイムシが 14.3%,クロキボシゾウムシ,キイロコキクイムシが 9.5%,シ ラホシゾウムシ属,マツノムツバキクイムシが 4.8% であった(Table 7)。このように前年に続いて マツキボシゾウムシの占める割合の大きかったことは、着葉量の少ない衰弱木が冬の間にさらに弱って、 春型のマツキボシゾウムシの寄生を受けて枯死したものと考えられる。また,被害3年目をみると枯死 木は 15 本でまだかなり多く,優占種はニトベキバチが 80.0% と多く,ヒゲナガモモブトカミキリ,サ ビカミキリ、シラホシゾウムシ属がそれぞれ 6.6% であった(Table 8)。これは最終年の優占種がニ トベキバチで特に多いという点において、激害林の結果と一致した。

従って,両林区とも枯損に至るような衰弱木の発生は被害2年目までにおさまったものと考えられる が、微害林ほど枯損の終息は遅いようである。

3.2 摘葉による枯損時期の判定

マツカレハの幼虫の食害に起因する衰弱木に対する加害穿孔虫の種構成によって、おおよそ、その枯 損時期の判定は可能であるが、どの程度の食害量と食害時期が衰弱枯死を引き起こしたかを摘葉による モデル試験で確かめた。

3.2.1 試験方法

試験は森林総合研究所東北支所の苗畑に植裁された 12 年生アカマツ林(平均胸高直径 7 cm,平均 樹高 7.5 m)で行った。この林より試験木をランダムに選び,Fig. 5,6 に示す時期に摘葉を行った。 すなわち, Fig. 5-IB, C は春被害を, Fig. 5-IC' は春被害に加えて, ふ化幼虫による秋被害を想定 して摘葉を行った。Fig. 6-II A, B は秋被害を、そして Fig. 6-II A', B' はそれに翌年の春被害が加 わった場合,また,Fig. 6-II C は秋被害のみをそれぞれ想定して摘葉した。摘葉後における樹体衰弱 の経過を樹脂の流出量の変化によって観察するため,小田(日塔ほか,1966)の基準に従って調査した。

3.2.2 試験結果及び考察

試験結果は Table 9, 10 に示すとおりである。

まず,IA,IB 及びIC の春被害のみを想定して摘葉した各区は,摘葉の程度にかかわりなく,翌 春まで樹脂の流出に変化はなかった。しかし,春被害に加えて秋被害を想定した I C′ 区では,翌年 6 月には全供試木が樹脂流出量は0となり、枯死したことを確認した。一方、II A, II A', II B, II B'の

Table 6. 幼虫の食害による枯死木に対する加害虫 (1985) Fauna of borers infesting pine trees which died after defoliation by *Dendrolimus* spectabilis (Butler) (1985).

微害林 Moderately injured stand (ca. 10% of pine trees died)

	Moderately injured stand (ca. 10% of pine trees died)									
Dom	優占種 Dominant species in a pine tree マツキボシゾウムシ Pissodes nilidus (ROELOFS)				次ぎに多い種 lominant spec シラホシゾウ ムシ属 Shirahoshizo	ies ヒゲナガモモブ トカミキリ Aeanthocinus griseus (FABRICIUS)				
本数 No. of trees (構成比%)	胸高直径 D.B.H. (cm)	Index of the amount	占 有 度 Index of species dominancy	占 有 度 Index of species dominancy	占有度 Index of species dominancy	占有度 Index of species dominancy				
2 1 1 2	6.5 20.0 7.0 7.0	0.5 0 0 0	6.0(± 3.0) 18.0(-) 3.0(-) 9.5(-)	6.0(± 3.0)	9.0 (—)	1.0 (—)				
計6(27.3)	<u> </u>	0.1	$9.1(\pm 7.0)$							
	Cryph	コキクイムシ talus fulvus HJIMA)	,	マツキボシゾウムシ Pissodes nilidus (Roelofs)	シラホシ ゾウムシ属 Shirahoshizo					
3 	6.0 6.0	0 0	$4.7(\pm 3.1) \\ 3.0(-)$	1.0(-)	1.0 (-)					
計 4(18.2)	平均 6.0	0	$3.9(\pm 2.8)$							
	Arhopa (]	ごカミキリ zlus rusticu: Linné)		キイロコキ クイムシ Cryphalus fulvus (NIIJIMA)	マツキボシ ゾウムシ Pissodes nilidus (Roelofs)	シラホシ ゾウムシ属 Shirahoshizo				
2 1 1	10.5 9.0 14.0	0 0 0	6.0(± 3.0) 9.0(-) 9.0(-)	4.0(± 2.0)	3.0 ()	1.0 (-)				
計 4(18.2)		0	$8.0(\pm\ 2.8)$							
}		シゾウムシ属 ahoshizo		マツキボシゾウムシ Pissodes nilidus (Roelofs)	ニトベキバチ Sirex nitobei (Matsumura)					
1 1 1	7.0 10.0 12.0	0 0 0.9	9.0(-) 9.0(-) 9.0(-)	3.0(-)	2.0 (-)					
計 3(13.6)	平均 9.7	0.3	9.0(—)							
ı	Niphad	ロブゾウムシ es variegatu .OELOFS) 	es .	キイロコキクイムシ Cryphalus fulvus (NIIJIMA)						
2	7.0 7.0	0 0	6.0(± 3.0) 9.0(-)	3.0(± 1.0)						
計 3(13.6)		0	$7.0(\pm\ 2.8)$							
	Ips d	ツバキクイム ccuminatus LLENHAL)	シ 	マツノキクイムシ Tomicus piniperda (Linné)						
計1(4.5)	平均11.0	0	27.0(—)	9.0(-)						
	Tomici	/ キクイムシ us piniperda Linné)	L	マツキボシゾウムシ Pissodes nilidus (Roelofs)						
計1(4.5)	平均10.0	0	3.0(-)	1.0(—)						

Table 7. 幼虫の食害による枯死木に対する加害虫 (1986) Fauna of borers infesting pine trees which died after defoliation by *Dendrolimus* spectabilis (Butler) (1986).

微害林 Moderately injured stand (ca. 10% of pine trees died)

	N	loderately 1	njured stand	(ca. 10% o	t pine trees	died)	
優 占 種 Dominant species in a pine tree マツキボシゾウムシ Pissodes nilidus (ROBLOFS) 本 数 胸高直径 着 葉 量 占 有 度				クロキボシ ゾウムシ Pissodes obscurus (ROELOFS) 占 有 度		多い種 ant species ーサビカミキリ Arhopalus rusticus (Linné)	キクイムシ Xyleborus validus (Eichhoff) 占有度
No. of trees (構成比%)		Index of the amount of needles	Index of species dominancy	Index of species dominancy	Index of species dominancy	Index of species dominancy	Index of species dominancy
5 2 1 1	10.8 8.5 10.0 9.0	2.0 4.0 1.3 0.6	10.6(± 4.9) 3.0(± 1.0) 6.0(-) 6.0(-)	5.0(±2.8)	1.0(-)	1.0(-)	4.0(-)
計 9(42.8)		2.0	$6.9(\pm 4.8)$				
	Arhop	ごカミキリ alus rusticu Linné)	s	マツキボシ ゾウムシ Pissodes nilidus (Roblofs)			
計3(14.3)		0.6	9.0(0)	$3.0(\pm 0.8)$			
!	Tomic	/キクイムシ us piniperd Linné)	a 	クロキボシ ゾウムシ Pissodes obscurus (ROELOFS)	キイロコキ クイムシ Cryphalus fulvus (NIIJIMA)		
1 1 1	14.0 9.0 7.0	0 0.6 0.3	9.0(-) 3.0(-) 1.0(-)	6.0(-)	2.0(-)		
計 3(14.3)	平均10.0	0.3	$4.3(\pm 3.4)$		<u> </u>		
	Pisso	ボシゾウムシ les obscurus RomLoFs)		マツキボシ ゾウムシ Pissodes nilidus (Roelofs)			
計2(9,5)	平均 8.5	2.2	$7.5(\pm 1.5)$	4.5(±1.5)			
_	Crypi (N	コキクイムシ nalus fulvus nijima)	!	クロキボシ ゾウムシ Pissodes obscurus (ROELOFS)	サビカミキリ Arhopalus rusticus (LINNÉ)		
1	9.0 9.0	2.3 0.6	$\begin{array}{ccc} 7.0(& - &) \\ 3.0(& - &) \end{array}$	3.0(-)	1.0(-)		
計2(9.5)	平均 9.0	1.5	$5.0(\pm\ 2.0)$				
	Shir	シゾウムシ属 rahoshizo 		ニトベキバチ Sirex nitobei (MATSUMURA)			
計1(4.8)		1.6	9.0(-)	3.0(-)			
	Ips o	ツバキクイム icuminatus YLLENHAL)	シ	マツノキ クイムシ Tomicus piniperda (LINNÉ)			
計1(4.8)	平均14.0	3.0	18.0(—)	9.0(-)			·

Table 8. 幼虫の食害による枯死木に対する加害虫 (1987) Fauna of borers infesting pine trees which died after defoliation by *Dendrolimus* spectabilis (Butler) (1987).

微害林

Moderately injured stand (ca. 10% of pine trees died)

Dom	優 ninant sp	占種 ecies in a p	ine tree		次ぎに多い種 Subdominant species				
	Sir	トベキバチ ex nitobei atsumura)	I	クロキボシ ゾウムシ Pissodes obscurus (ROELOFS)	サビカミキリ Arhopalus rusticus (Linné)		ゾウムシ属		
本数 No. of tress (構成比%)	İ	Index of the amount	species	占 有 度 Index of species dominancy	species	占 有 度 Index of species dominancy	占有度 Index of species dominancy		
3	11.3	2.2	$11.0(\pm 11.3)$	$2.0(\pm 0.8)$	1.0(.0.)				
2 1	10.5 14.0	3.2 1.3	$15.0(\pm 12.0)$ 21.0(-)		1.0(0)	10.0(—)			
1	11.0	1.3	27.0(-)			10.00	1.0(-)		
5	9.6	2.1	12.2(± 9.1)						
計12(80.0)	平均11.3	2.0	$17.2(\pm 10.3)$						
	Aeantho	ミモブトカミキ ccinus grises ABRICIUS)		クロキボシ ゾウムシ Pissodes obscurus (ROELOFS)					
↠1(6.6)	平均14.0	2.0	9.0(-)	3.0(-)					
	Arhopa	ごカミキリ lus rusticus Linné)		ニトベキバチ Sirex nitobei (Matsumura)					
計 1(6.6)	平均10.0	2.0	9.0(-)	3.0(-)					
	シラホ Shir	シゾウムシ属 rahoshizo							
計 1(6.6)	平均 7.0	4.0	1.0(-)						

秋被害と春被害を想定した各区は、翌春まで樹脂流出に変化はなかった。しかし、秋の激害を想定して全葉を摘葉した II C 区は摘葉後から樹脂流出に異常が現れて、翌春にはすべての供試木は樹脂流出量0となり枯死を確認した。

以上の IC', II C 区のように秋期に全葉が摘葉されると、翌春には樹脂の流出が停止して枯死することが分かった。全葉が摘葉されても I C 及び II A', II B' のように、その時期が春期であれば樹脂の流出に異常は起こらず、しかも、新芽が伸長し開葉することから枯死には至らなかった。従って、前頃の被害解析を行った両林分の衰弱、枯死木の発生は、ほとんどが 1984 年秋期までに全葉が食害されたことによって起きた現象と考えられる。

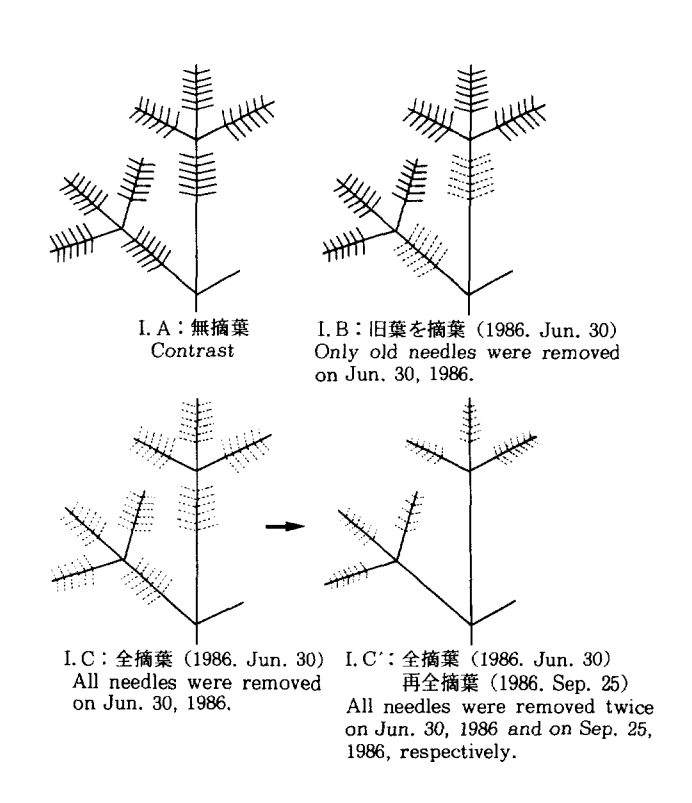
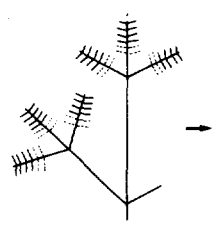
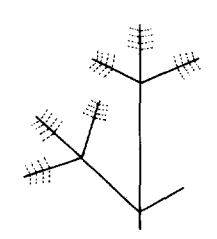


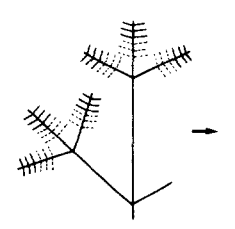
Fig. 5. 摘葉程度の模式図 (その1) Scheme for arrangement of needle removal (No. 1)



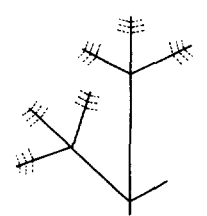
II. A: 1/3 摘葉 (1986. Sep. 25) 1/3 of new needles and all of the old needles were removed on Sep. 25, 1986.



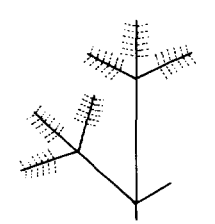
II. A': 残りを全摘葉 (1987. May. 27) The rest of the needles were removed on May 27, 1987.



II.B: 1/2 摘葉 (1986, Sep. 25) 1/2 of new needles and all of the old needles were removed on Sep. 25, 1986.



ILB': 残り全摘葉 (1987. May. 27) The rest of the needles were removed on May 27, 1987.



II.C:全摘葉 (1986. Sep. 25) All needles were removed on Sep. 25, 1986.

Fig. 6. 摘葉程度の模式図(その 2) Scheme for arrangement of needle removal (No. 2)

Table 9. アカマツの摘葉による樹脂流出量の変化(その1) Changes in resin flow of *Pinus densiflora* after removing needles (No.1)

摘葉程度 Removal method	立木 No. Tree No.	1986	樹脂流出量。 Date of inv	調査年月日 estigation	1987	備 考 Notes
		Jul. 4	Jul. 24 Oct. 15		Jun. 1	2
I. A	1	##	₩	##	+++	
	2	₩	##	##	##	
	3	##	##	##	##	
	4	##	###	##	##	
	5	##	##	##	##	
I. B	1	##	##	##	+++	
	2	##	+++	##	##	
	3	##	+++	##	##	
	4	##	##	##	##	
	5	##	##	##	##	
I. C	1	##	+++	##	+++	
	2	##	##	+++	##	
I. C'	1	+++	#	##		1987. Jun. 12, 枯死 Died on Jun. 12, 1987
	2	##	#	#	0	<i>"</i>
	3	##	##	##	0	"

樹脂流出量の判定は小田氏の基準に従った。

Judgement of resin flow followed Oda (1964).

Removal method was referred to in Fig. 5

Table 10. アカマツの摘葉による樹脂流出量の変化(その2) Changes in resin flow of *Pinus densiflora* after removing needles (No.2)

摘葉程度 Removal method	立木 No. Tree No.	樹脂 Date 1986 Oct.15	流出 量調査 年月 of investiga 1987 May. 27	日 tion Jun. 12	備 考 Notes
II. A	1	##	##	##	
	2	##	##	##	
	3	+		#	
II. A'	1	##	##	+++	
	2	+++	##	##	
	3	111	##	##	
	4	##	+++	##	
II. B	1	+++	##	##	
	2	+	##	##	
	3	##	##	+++	
II. B'	1	##	##	+++	
	2	##	##	##	
	3	##	##	##	
II. C	1	+	0	0	1987. Jun. 12, 枯死 Died on Jun. 12, 1987.
	2	 	0	0	"
	3	+	0	0	"
	4	#	0	0	"
	5	##	0	0	"
	6	+	0	0	"
	7	##	0	0	"

樹脂の流出量の判定は小田氏の基準に従った。

Judgement of resin flow followed Oda (1964).

Removal method was referred to in Fig. 6.

4 落下糞数による林内幼虫密度の推定

マツ林内におけるマツカレハ幼虫の生息数を調べることは、マツカレハ被害の発生を予測し、被害防除を図るうえで必要なことをすでに述べた。この項では、樹冠内幼虫の排糞落下消長、幼虫の発育経過と排糞数、密度推定の時期、防除基準の判定などについて述べる。

4.1 林内幼虫の排糞の落下消長

幼虫の排糞数から生息密度を推定するためには、まず、マツ林内で排糞の落下消長の季節的変動を知る必要がある。そこで、岩手県岩手郡滝沢村巣子の約60年生のアカマツ林内で1978年に調査を行った(山家、1981)。

4.1.1 調査方法

調査は林内に一辺 10 m の方形区を設け、5 m 間隔の格子の各交点に、一辺 37.8 cm の正方形で深さ 3 cm のトタン製の受け皿を 1 枚ずつ、計 9 枚配置し、4 月 14~29 日まで調査した。その後、引き続き、同じ場所に 1 m^2 の布製受枠(Fig. 7)を 6 個設置し、4 月 30 日より 7 月 30 日まで毎日ほぼ午前 9 時に林内の気温、落下糞数、幼虫の脱皮した頭殻の落下数を観測記録した。

4.1.2 調査結果及び考察

林内における落下糞数と脱皮頭殻の調査時期別消長は Fig. 8 に示すとおりである。排糞の落下は 4 月 16 日に始まり 7 月 19 日に終了したが,この間に落下糞数のピークが二つみられた。第 1 回目は 5 月 4 日の $1 \, \mathrm{m}^2$ 当たり 900 個,第 2 回目は 5 月 17 日の $1 \, \mathrm{417}$ 個であって,ともに脱皮前の発育のそろった時期と思われた。それぞれは,このあと脱皮期にさしかかり 5 月 $8 \sim 9$ 日と 5 月 23 日頃に大きく減少している。これは越冬後第 1 回目と第 2 回目の脱皮期と一致する。しかし,第 3 回目は脱皮期がそろわなかったため,落下糞数の減少はみられず, $1 \, \mathrm{m}^2$ 当たり 600 個前後で推移した。

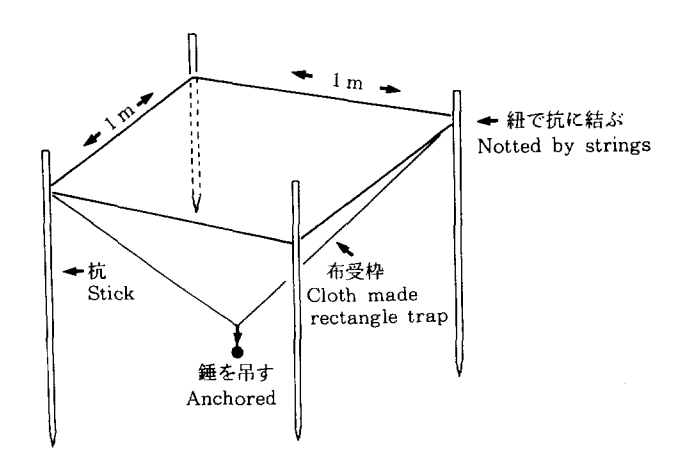


Fig. 7. 落下糞トラップの模式図 Cloth made traps for collecting fallen frass

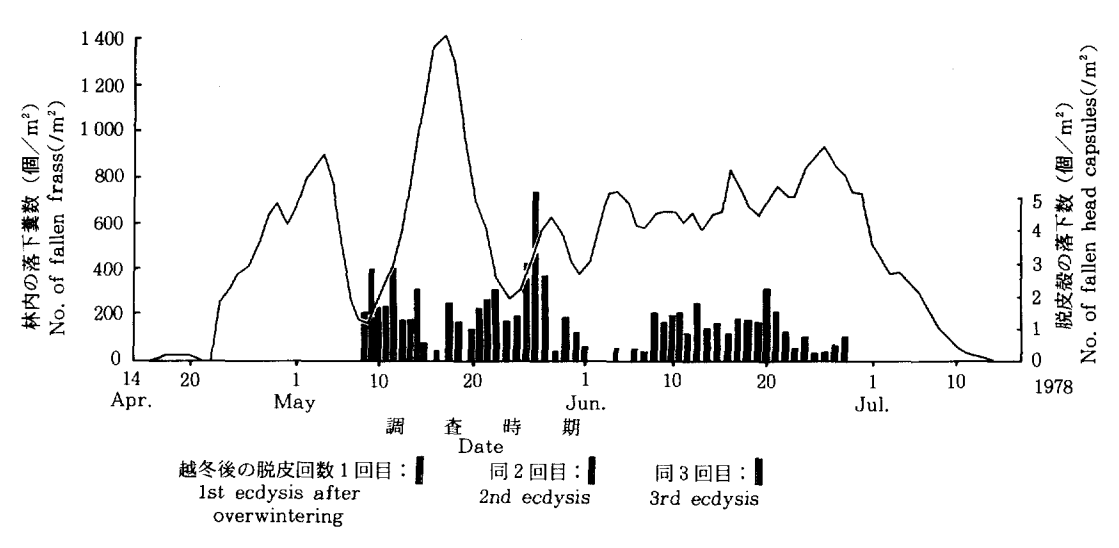


Fig. 8. アカマッ林内における落下糞数と脱皮殻の時期別変化 Daily changes of falling frass and head capsules in a red pine forest

この結果によると越冬後,第3回脱皮の5月下旬から6月上旬以降では比較的落下糞数の変動が少なくなる。しかし,この時期は幼虫の発育がかなり進んでおり,生息密度推定の時期としては,防除を目的とした場合に適当でない。防除措置などを考慮すると密度推定はできるだけ早い時期に行う必要がある。従って,越冬後第1回脱皮前の落下糞数のピーク時が最も適しているものと考えられた。

4.2 越冬後幼虫の発育経過と排糞数

林内の落下糞数を調査するには、まず幼虫の排糞習性を知っておく必要がある。しかし、マッカレハ幼虫の発育に、地理的変異のあることが知られている(土生、1976)。そこで東北地方を中心に各地産の越冬後幼虫の発育経過と排糞数の関係を調査した(山家、1981、1984、1988、1989、1990 a、1990 b、1991、1992;山家ほか、1985、1986 a、1987 c、1988)。

4.2.1 調査方法

供試虫は Fig. 9 に示した東北地方 12 産地、東北地方以外から 11 産地の計 23 産地のものについて、温度段階別に飼育を行った。供試虫の採集時期及び飼育開始時期は Table 11 に示した。なお、採集から飼育開始までは $0\sim3^{\circ}$ の低温室に保存した。飼育は飼育温度を 15、18、21、24 $^{\circ}$ の 4 段階に調整した 16 時間照明の恒温槽内で、200 ml 入りポリカップを用い 1 処理 30 頭ずつ個体飼育を行った。ただし、玉山及び北上産幼虫は飼育温度を 16、19、22、25 $^{\circ}$ とした。また竜ケ崎、波崎、小値賀及び熊本産幼虫の供試数は 1 処理 50 頭ずつとした。餌は新鮮なアカマッ針葉を 3 $^{\circ}$ 4 日ごとに与えた。調査は毎日ほぼ定時に行い、排糞数と脱皮の有無について記録した。

4.2.2 調査結果及び考察

(1) 発育経過

各産地とも供試虫のうち営繭まで完了した個体について、越冬後の発育経過を示すと Table 12 のと

おりである。この幼虫期間から発育速度をもとめ、飼育温度に対する発育速度の回帰式を Table 13 に、回帰直線は Fig. 10 に示した。この図から、年 1 化地帯では東北地方太平洋側、東北地方日本海側、竜ケ崎、青梅、富山の順に発育速度が遅くなることが分かった。年 2 化出現地帯(主として関東以西の太平洋側及び近畿地方の一部など)では東北地方太平洋側の産地と青梅や富山産の中間にばらついて、緯度の低いほど発育速度は早まった。



Fig. 9. 供試虫の採集地

Location map of collecting sites of *Dendrolimus spectabilis* (BUTLER) for experiments

Table 11. 供試虫の採集地及び採集,飼育年月日 Dendrolimus spectabilis (Butler) for laboratory experiment.

採 集 地 Location	採集年月日 Collecting date	飼育開始年月日 Starting date for laboratory experiment
北海道富良野市山部町 Furano	1986. Apr. 11	1986. Apr. 29
青森県三沢市織笠 Misawa	1977. Dec. 13	1978. Apr. 24
秋田県大館市四羽出 Oodate	1987. Dec. 10	1988. Apr. 8
秋田県能代市向能代 Noshiro	1982. Dec. 11	1983. Apr. 19
岩手県岩手郡玉山村好摩 Tamayama	1981. Dec. 1	1982. Apr. 15
岩手県岩手郡滝沢村巣子 Takizawa	1976. Dec. 18	1977. Apr. 13
岩手県北上市相去 Kitakami	1979. Nov. 20	1980. Apr. 23
岩手県江刺市藤里 Esashi	1981. Dec. 15	1982. Apr. 15
山形県酒田市黒森 Sakata	1986. Dec. 15	1987. Apr. 9
宮城県栗原郡築館町宮野 Tsukidate	1978. Mar. 7	1978. Apr. 26
宮城県宮城郡利府町 Rifu	1984. Dec. 10	1985. Apr. 3
福島県郡山市湖南町 Kooriyama	1984. Dec. 13	1985. Apr. 3
福島県白河市鬼越 Shirakawa	1984. Dec. 15	1985. Apr. 14
富山県富山市三郷 Toyama	1986. Dec. 8	1987. Apr. 9
茨城県竜ケ崎市板橋 Ryugasaki	1989. Apr. 4	1989. Apr. 6
茨城県鹿島郡波崎町 Hazaki	1989. Apr. 5	1989. Apr. 6
東京都青梅市富岡 Oome	1977. Dec. 14	1978. Apr. 1
京都府京都市左京区 Kyoto	1991. Feb. 26	1991. Apr. 6
高知県高知市朝倉 Koochi	1978. Dec. 20	1979. May. 8
長崎県北松浦郡小値賀町 Ochika	1990. Feb. 15	1990. Feb. 27
熊本県熊本市黒髪 Kumamoto	(1989. Oct. 7)	1990. May. 1
長崎県島原市瓢箪畑 Shimabara	1977. Nov. 29	1978. Feb. 28
鹿児島県姶良郡姶良町 Aira	1989. Dec. 15	1990. Feb. 28

^()内は卵塊を採集,当支所でふ化幼虫を越冬

Larvae of *Dedrolimus spectabilis* (BUTLER) were collected in the field. Parenthesis indicates *Dendrolimus spectabilis* (BUTLER) were collected in an egg stage, and overwintered in the laboratory.

(2) 発育零点

越冬後幼虫の発育速度より求めた発育零点を Table 13 に,また発育零点と緯度との関係は Fig. 11 に示した。この図をみると年 1 化地帯ではやはり北海道富良野産が 10.0 で最も高く,京都産が 6.4 ℃で最も低い。そして竜ケ崎や波崎産を除くと,高緯度から低緯度にいくほど低くなる関係にある。ただし,東北地域内では平均が 9.1 ℃ でどちらの関係にも一定の傾向はみられなかった。また,年 2 化地帯では京都産の 2 世代目の幼虫が 12.1 ℃ で最も高く,姶良産が 6.9 ℃ で最も低い。こちらも高緯度ほど高く,低緯度ほど低いというように,年 1 化地帯と同様の傾向がみられた。

(3) 発育有効積算温量

各地域の越冬後幼虫の発育零点を基礎に越冬後営繭までの幼虫期間の発育有効積算温量を求め (Table 13), それと緯度との関係 (Fig. 12) をみた。発育零点と同様東北地域内では, どちらの関係

Table 12. 採集地別越冬幼虫の発育経過 Development after overwintering of *Dedrolimus spectabilis*(Butler) larvae collected from different locations.

採集地	飼育温度	営繭虫数 (頭)	Deve	力 虫 期 lopmenta il stage(l period in		発育速度 (1/M) Developmenta
Location	Temperature		最小	最大	平均(M)	Μ±	rate
	(°C)	Pupated	MIN.	MAX.	MEAN	S.D.	
富良野	15	3	75	85	80.0	4.08	0.0125
Furano	18	4	48	57	51.8	3.56	0.0193
	21	2	39	40	39.5	0.50	0.0253
	24	3	28	32	29.7	1.70	0.0337
 三沢	15	12	83	112	91.8	10.43	0.0109
Misawa	18	16	48	60	52.4	3.78	0.0191
	21	10	36	48	41.9	4.23	0.0239
	24	13	29	37	31.9	2.72	0.0313
大館 (Codoto	15	23	90	133	114.5	12.45	0.0084
Oodate	18	30	53	84	71.4	7.73	0.0140
	21	26	50	77	64.7	7.52	0.0155
	24	31	35	62	47.8	7.75	0.0209
能代 Noshiro	15	21	74	92	84.8	6.28	0.0118
	18	20	46	60	52.6	4.22	0.0190
	21	21	36	49	42.3	3.79	0.0236
	24	20	27	39	34.8	2.99	0.0287
玉山	16	26	73	107	82.1	8.85	0.0122
Tamayama	19	25	45	65	49.8	4.06	0.0201
	22	27	34	47	39.9	3.19	0.0251
	25	28	30	37	33.4	1.91	0.0299
滝沢	15	13	75	92	84.9	5.61	0.0118
Takizawa	18	15	49	61	55.0	3.53	0.0182
	21	11	35	50	44.2	4.67	0.0226
	24	16	32	53	36.5	5.20	0.0274
北上、	16	15	65	85	77.0	5.20	0.0130
Kitakami	19	14	47	53	50.0	2.25	0.0200
	22	13	33	42	38.3	2.69	0.0261
	25	16	29	36	32.7	2.12	0.0306
工刺	15	22	74	97	84.3	5.37	0.0119
Esashi	18	19	43	59	49.4	4.32	0.0203
	21	25	37	49	41.6	2.84	0.0240
	24	20	27	33	30.6	1.73	0.0327

Table 12. (つづき) (Continued)

採集地	飼育温度	営繭虫数 (頭)	Deve	力 虫 期 lopmenta il stage(l period in		発育速度 (1/M) Developmenta
Location	Temperature	No. of individuals	最小	最大	平均 (M)	Μ±	rate
	(• C)	Pupated	MIN.	MAX.	MEAN	S.D.	
酒田	15	15	108	154	134.3	11.13	0.0074
Sakata	18	26	62	99	78.2	7.81	0.0128
	21	21	52	79	62.1	8.19	0.0161
	24	21	37	55	47.1	4.73	0.0212
築館 Tsukidate	15	8	86	102	93.5	5.45	0.0107
	18	12	50	79	58.8	7.96	0.0170
	21	9	37	53	42.6	5.00	0.0235
	24	14	29	41	33.7	3.67	0.0297
利府	15	6	76	93	85.5	6.30	0.0117
Rifu	18	9	51	64	56.2	4.24	0.0178
	21	4	37	57	43.5	9.15	0.0229
	24	14	32	42	35.6	2.65	0.0281
郡山 Kooriyama	15	12	71	100	87.4	10.33	0.0114
	18	11	44	65	55.4	6.48	0.0181
	21	15	36	56	44.1	5.52	0.0227
	24	19	28	50	34.1	5.37	0.0290
白河	15	2	87	98	92.5	5.50	0.0108
Shirakawa	18	7	57	81	67.1	9.03	0.0149
	21	13	38	64	46.0	5.96	0.0217
	24	21	29	45	35.9	3.45	0.0279
富山	15	10	138	191	166.2	16.01	0.0060
Toyama	18	22	93	121	103.4	7.25	0.0097
	21	20	75	103	86.7	7.75	0.0115
	24	11	61	83	72.2	7.05	0.0139
竜ケ崎	15	15	95	223	143.8	30.41	0.0069
Ryugasaki	18	25	63	98	86.7	8.34	0.0115
	21	31	46	81	65.0	7.67	0.0154
	24	24	40	56	51.6	4.12	0.0194
波崎	15	38	65	125	118.8	12.44	0.0084
Hazaki	18	40	52	81	77.5	7.33	0.0129
	21	42	29	61	59.6	6.60	0.0168
	24	39	29	51	47.5	5.09	0.0211

Table 12. (つづき) (Continued)

採集地	飼育温度	営繭虫数 (頭)	幼 虫 期 間 (日) Developmental period in larval stage (days)				発育速度 (1/M) Developmenta
Location	Temperature	No. of individuals	最小	最大	平均 (M)	Μ±	rate
	(°C)	Pupated	MIN.	MAX.	MEAN	S.D.	
青梅	15	5	140	173	152.3	12.27	0.0066
Oome	18	3	101	110	104.7	4.73	0.0096
	21	5	73	100	85.3	9.95	0.0117
	24	7	58	79	70.2	9.20	0.0143
京都	15						
Kyoto	18	1			116.0		0.0086
	21	5	72	91	82.0	7.18	0.0122
	24	4	65	96	75.3	14.13	0.0133
(京都)	15						
(Kyoto)	18	1			42.0		0.0238
	21	2	36	39	37.5	1.50	0.0267
	24	2	20	24	22.0	2.00	0.0455
 高知	15	7	102	181	140.6	25.69	0.0071
Koochi	18	9	85	111	98.7	11.24	0.0101
	21	8	65	81	71.6	5.56	0.0140
	24	8	34	77	57.9	12.98	0.0173
小 値賀 Ochika	15	11	106	173	142.8	19.15	0.0071
	18	38	69	106	90.1	9.38	0.0111
	21	33	50	85	68.3	7.98	0.0146
	24	26	41	65	55.8	5.54	0.0179
熊本	15	15	138	176	146.7	12.21	0.0068
Kumamoto	18	31	77	113	93.0	8.34	0.0108
	21	27	65	92	76.5	7.46	0.0131
	24	33	51	71	58.9	4.48	0.0169
島原	15	12	86	158	127.8	21.06	0.0078
Shimabara	18	8	70	96	78.5	8.44	0.0127
	21	17	43	74	59.6	7.83	0.0168
	24	11	37	58	48.8	6.60	0.0205
姶良	15	22	75	139	105. 2	19.66	0.0095
Aira	18	22	46	105	67.7	14.52	0.0147
	21	26	36	70	55.6	10.26	0.0179
	24	28	34	61	47.7	7.87	0.0209

^()は2化性個体の1化期

Parenthesis indicates the 1st voltinism of biroltine strain.

Table 13. 幼虫の飼育温度に対する発育速度の回帰式,発育零点及び発育有効積算温量 Developmental zero point, total effective temperature index, and regression line for larval development of Dendrolimus spectabilis (BUTLER).

採集地 回 帰 Location Regression	式 発育零点 n line Developmental zero point (°C)	発育有効積算温量 Total effective temperature index (°C day)
富良野 Furano Y=0.0023X		421.2
三 沢 Misawa Y=0.0022X		457.4
大館Oodate Y=0.00127X	-0.0099 7.9	787.8
能 代 Noshiro Y=0.00180X	-0.0143 7.9	556.1
玉 山 Tamayama Y = 0.00195X	-0.0183 9.3	511.0
滝 沢 Takizawa Y=0.00170X	-0.0132 7.8	588.4
北 上 Kitakami Y=0.00200X	-0.0185 9.3	500.0
江 刺 Esashi Y=0.00221X-	-0.0209 9.5	452.3
酒 田 Sakata Y=0.00146X-	-0.0142 9.7	684.0
築 館 Tsukidate Y=0.00210X-	-0.0207 9.8	476.0
利 府 Rifu Y=0.00178X	-0.0145 8.2	562.8
郡 山 KooriyamaY=0.00191X-	-0.0170 8.9	522.5
白 河 Shirakawa Y=0.00194X-	-0.0189 9.8	514.0
富 山 Toyama Y=0.00085X-	-0.0067 7.4	1 184.2
竜ケ崎 Ryugasaki Y=0.00137X・	-0.0134 9.8	730.6
波 崎 Hazaki Y=0.00139X-	-0.0124 8.9	718.6
青 梅 Oome Y=0.00084X-	-0.0059 7.0	1 190.9
京 都 Kyoto Y=0.00078X-	-0.0049 6.4	1 289.4
" (Kyoto) $(Y = 0.00361X - 0.00361X)$	-0.0438 12.1	281.1)
高 知 Koochi Y=0.00113X-	-0.0099 8.7	883.1
小値賀 Ochika Y=0.00109X-	-0.0093 9.1	822.2
熊 本 Kumamoto Y=0.00121X-	-0.0109 8.5	926.6
島 原 Shimabara Y=0.00140X-	-0.0128 9.1	714.5
焓 良 Aira Y=0.00125X-	-0.0086 6.9	800.8

^()は2化性個体の1化期

Parenthesis indicates the 1st voltinism of bivoltine strain.

にもはっきりした傾向はないが、ほかの年1化地帯も含めてみると緯度との関係がみられる。また、年 2 化地帯でもやはりはっきりしないが、発育零点の関係にみられたような関係がある。

越冬後幼虫の発育速度、発育零点及び発育有効積算温量は東北地域内においてはばらつきが大きい。 この原因については今後の検討課題である。しかし,年1化地帯でみるといずれも気温との関係が考え られ,暖かい地域の個体群ほど発育が遅い傾向にある。年2化地帯のものは,年1化のものとは異質と 考えられ、地理的変異を考える際には区別する必要がある。

(4) 発育有効積算温量と排糞数

前項で述べたように発育速度、発育零点及び発育有効積算温量には、地理的な変異があり、年1化地 帯の東北地方産の間においてもばらつきがあった。そこで、各産地ごとに発育有効積算温量と排糞数の

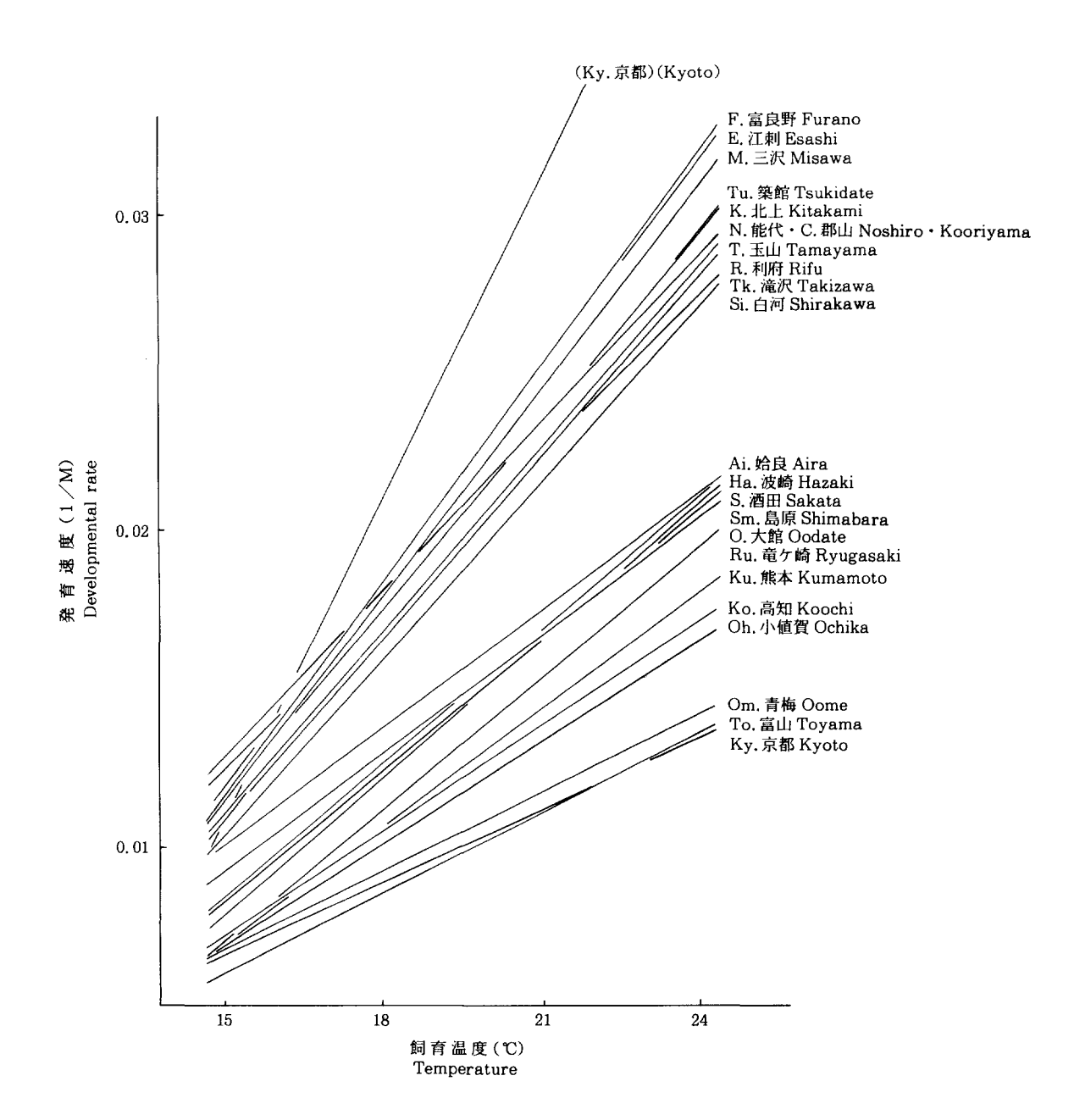


Fig. 10. 越冬後幼虫の発育速度の回帰直線

Regression line of developmental rate for $Dendrolimus\ spectabilis\ (Butler)$ larva after overwintering

()内は2化虫

Parenthesis indicates the 2nd generation of bivoltine strain

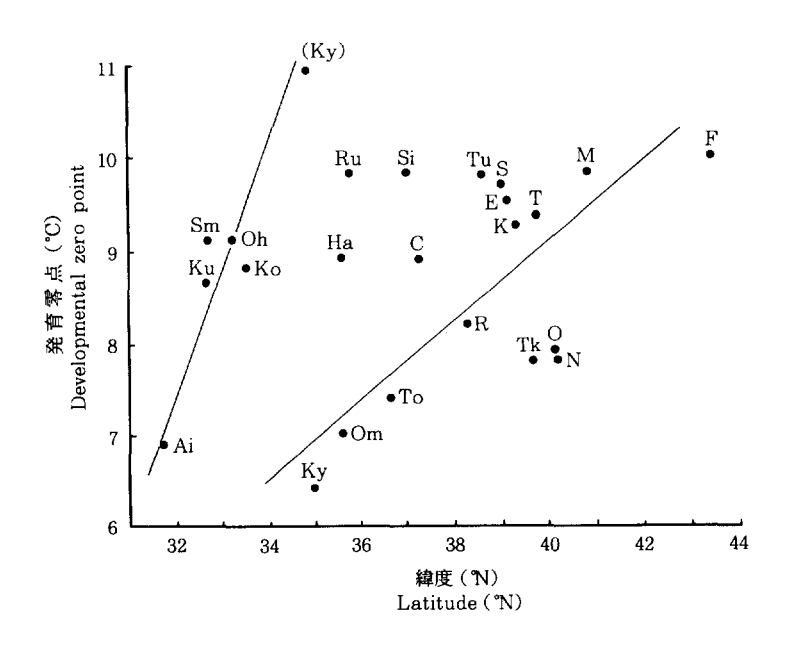


Fig. 11. 越冬後幼虫の発育零点と緯度との関係

Relationship between latitude and developmental zero point after overwintering of Dendrolimus spectabilis (BUTLER) larvae

()内は2化虫, 記号は Fig. 9 に同じ

Parenthesis indicates the 2nd generation of bivoltine strain. Abbreviations are same as shown in Fig. 9

関係を示すと Fig. 13, 14 のようになる。東北地方における発育有効積算温量は大館産が 800 日度と長いが,ほかの産地では 500~600 日度である。この間にはほぼ 3 回の脱皮があり,1 日度当たりの排糞数は 1~5 個の間で変動し,大きく四つのピークができた。また,東北地方以外の産地のものは発育有効積算温量は,東北地方産よりは長く 800~1 300 日度に及び,脱皮期はそろわず排糞数は 1 日度当たり 2 個前後で変動した。

排糞数から生息密度を推定する時期として、越冬後第1回脱皮前のピーク時が適当であると前に述べたが、東北各地産のこの時期をみるとおおよそ50~80日度前後にあたる。そこで越冬後150日度までの平均を求めると Fig. 15 のようになった。この図をみると越冬後60日度の排糞数がピークとなり、標準偏差も小さくなることから、東北地方ではやはりこの時期が落下糞数の調査時期として最も適当と考える。この時期の1頭1日度当たりの排糞数は2.48個である。

4.3 落下糞数による生息密度の推定

林内で幼虫の排糞数を調査するのに適した時期は、排糞数が多く、比較的産地間の誤差の少ない、発育有効積算温量 60 日度の頃であることが分かった。この 60 日度の日を決定するには、調査林地の気温の観測資料が必要となる。そこで東北地方各地の過去 10 か年(1971~1980)の平均気温から、それぞれの地域の発育零点をもとに、その調査時期を推定すると Fig. 16 に示すとおりである。これによる

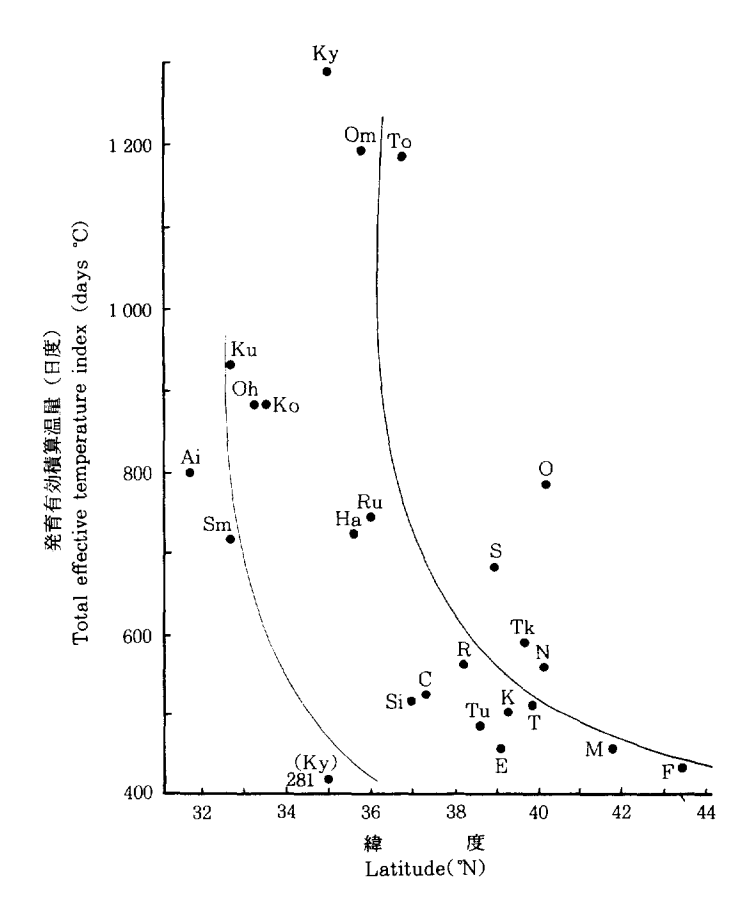


Fig. 12. 越冬後営繭までの発育有効積算温量と緯度との関係 Relationship between latitude and total effective temperature index after overwintering until pupation of *Dendrolimus spectabilis* (BUTLER)

() 内は2化虫, 記号は Fig. 9 に同じ

Parenthesis indicates the 2nd generation of bivoltine strain. Abbreviations are same as shown in Fig. 9

と東北地方では最も南の勿来が4月10日、仙台が4月18日、盛岡は4月28日、青森は5月5日と北に進むにつれて遅れ、下北半島の大間では5月15日となった。これは平年値で一応調査時期の目安になる。しかし、実際現地においてこの時期を正しく決定するには、各調査年ごとの気温の観測資料がないと困難である。

そこで、より実用的に 60 日度に達する日を予測する手法として、生物季節で最も良く知られている ソメイヨシノの開化日を利用する方法を開発した(川家、1987 a)。東北地方の 16 か所の気象官署が観測した $1984 \sim 1986$ 年までの 3 か年のソメイヨシノの開花日とマツカレハ越冬幼虫が発育有効積算温量で 60 日度に達する日との関係は Fig. 17 のようになる。開花日(x)と 60 日度に達する日(y)との間には y=1.0029 x -2.269 の関係があり、有意な相関が認められた。従って、越冬後幼虫の落下糞数

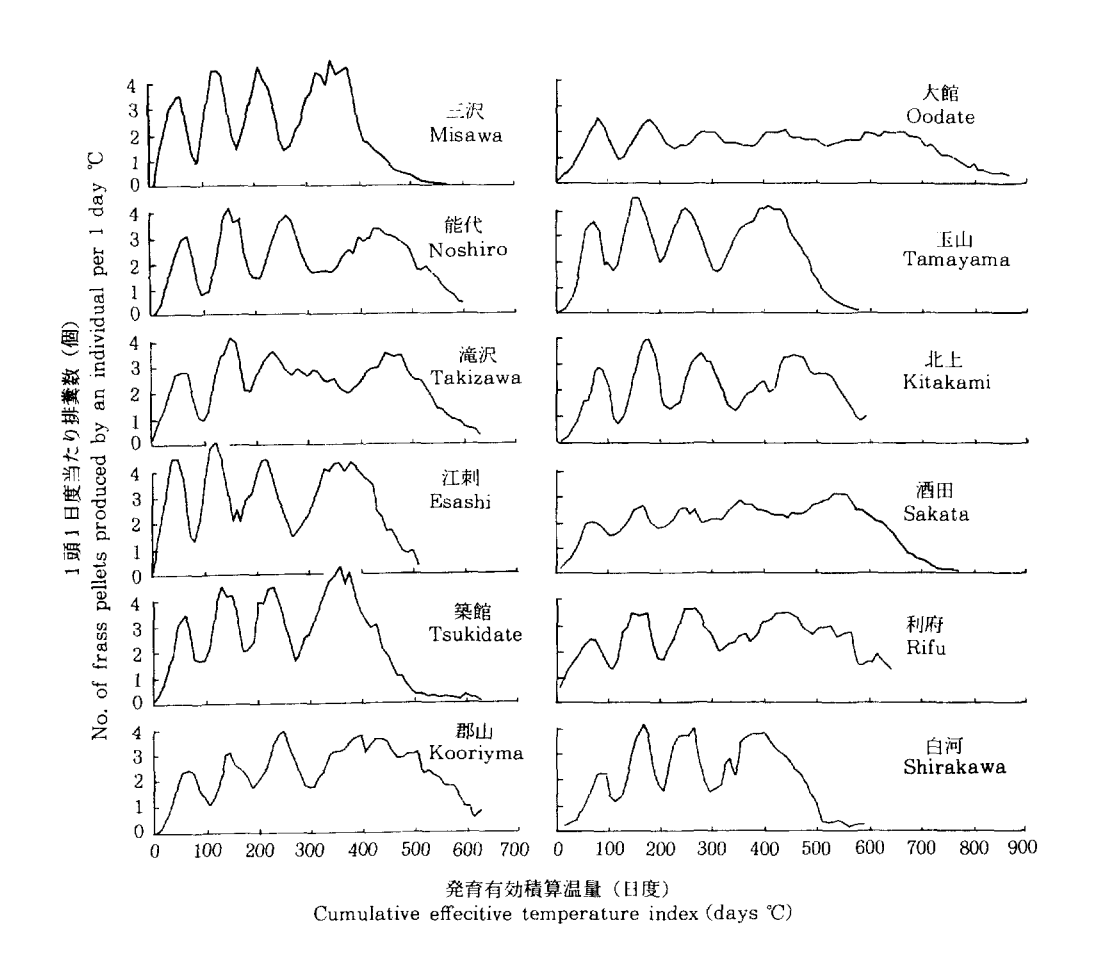


Fig. 13. 越冬後幼虫の排糞経過(東北地方) Seasonal change of frass production by *Dendrolimus spectabilis* (BUTLER) after overwintering in Tohoku District

調査は、ソメイヨシノの開花日を基準に行い、その落下糞数から生息密度を推定する。落下糞数を調査するため、樹上から落下してくる糞の受皿として、前述した白い布の受枠($1\times1\,\mathrm{m}$)(Fig. 7)を用いると便利である。この単位面積当たりの落下糞数を、1 頭 1 日度当たりの糞数 2.48 個に調査日の有効温量を乗じた数値で除すことによって、生息数が推定できる。すなわち、生息密度(<math>D)は m^2 当たりの落下糞数(N)を 1 頭 1 日度当たりの糞数 2.48 個に調査日の有効温量(<math>T)を乗じた数値で除した、次の式から求められる。

 $D = N/2.48 \times T$

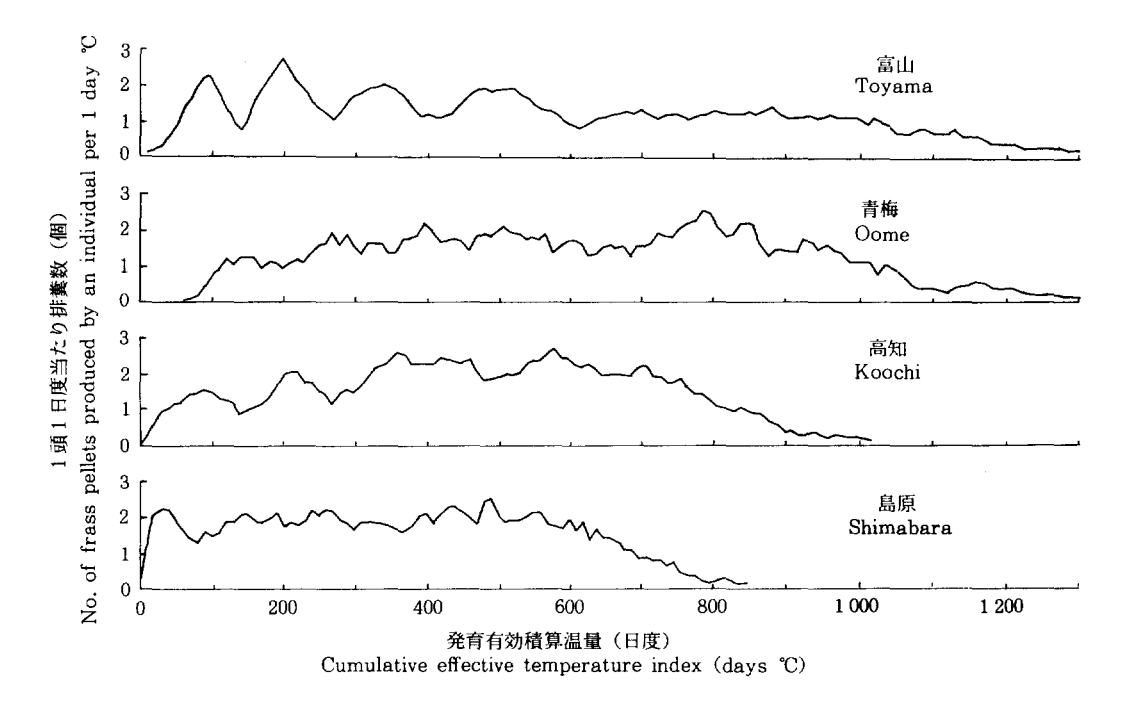
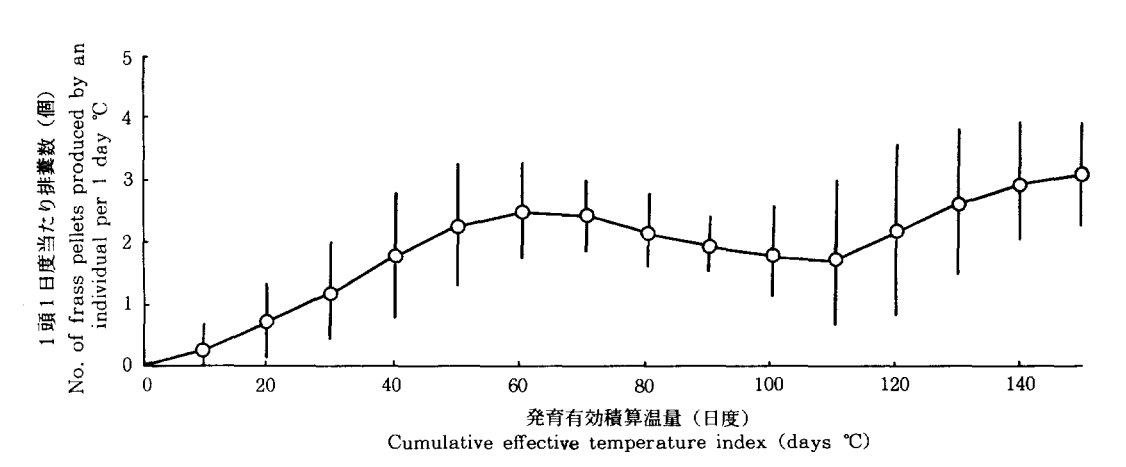
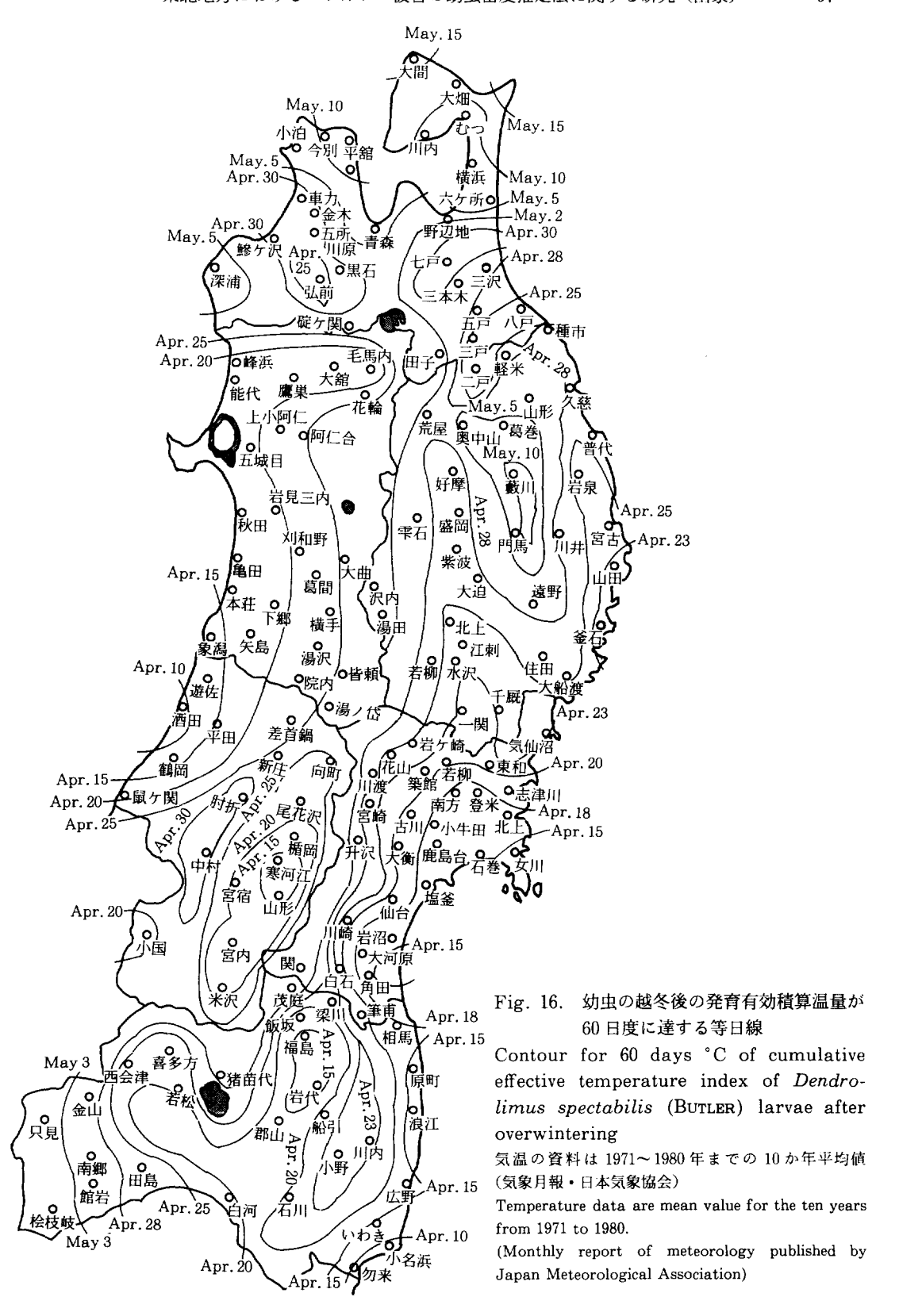


Fig. 14. 越冬後幼虫の排糞経過(東北地方以外) Seasonal change of frass production by *Dendrolimus spectabilis* (Butler) after overwintering in Japan except for Tohoku District



平均排糞数と標準偏差: 🌣 Mean and standard deviation

Fig. 15. 東北地方12産地の越冬後150日度までの平均排糞数 Average frass production after overwintering until 150 day °C of cumulative effective temperature index for *Dendrolimus spectabilis* (Butler) from 12 different locations in Tohoku District



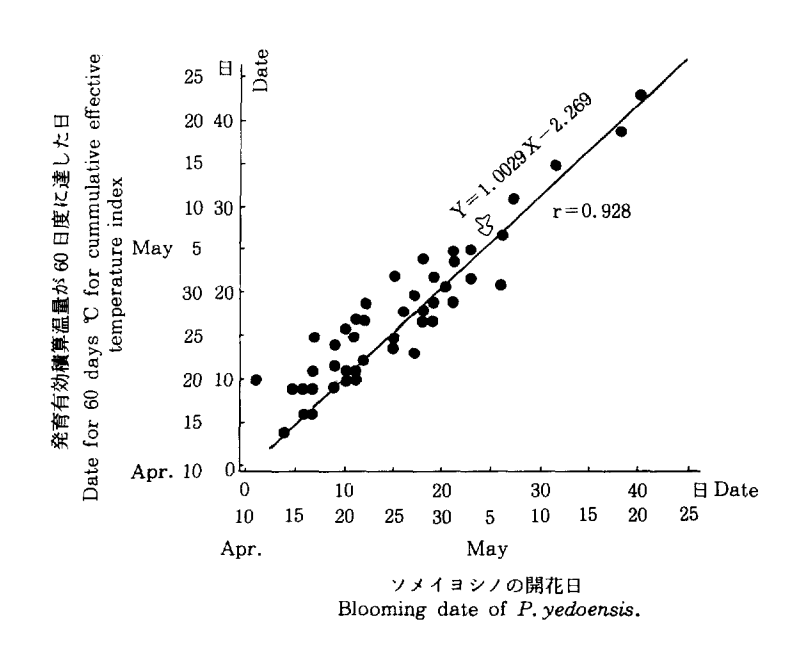


Fig. 17. ソメイヨシノの開花日とマツカレハ幼虫の越冬後の発育有効積算温量が 60 日度に達した日との関係(東北 6 県の気象月報, 1984~1986 より)

Relationship between date for blooming cherry blossoms and date for 60 days °C for cummulative effective temperature index of *Dendrolimus spectabilis* (BUTLER) after overwintering. (Data from monthly reports of meteorology in 6 Prefectures in Tohoku District: 1984–1986)

5 防除基準としての被害許容水準

マツカレハ幼虫による被害の程度は、加害虫数と被害林の葉量によって決まる。只木ら(1974)はマッ林の葉乾重量は 6.8 t±1.8 t/ha と報告している。また、著者が 1983 年 10 月当支所苗畑の 9 年生アカマツ幼齢林(平均胸高直径 4.0 cm、平均樹高 3.3 m、植栽本数 8 300 本/ha)で調べた葉量は、1 本当たり乾重量で 2 年葉が 282 g、当年葉が 613 g で合計 895 g であった。この数値は ha 換算すると只木らの結果とほぼ一致する。以上の結果をもとに植栽本数を仮に 8 年生で 8 000 本/ha、60 年生で 1 000 本/ha とモデル的に算出すると、単木当たりの平均葉乾重量は Fig. 18 の〇印で示す曲線となる。古野ら(1971)によるとマツカレハ幼虫の摂食量はアカマツ針葉を食餌としたとき、幼虫 1 頭当たり全餌食量は雌雄平均で 11.75 g である。一方、産地別の越冬後営繭までの平均排糞重量は 1 頭当たり三沢産が 6.54 g、滝沢産が 7.98 g、築館産が 6.69 g、青梅産 9.10 g、長崎産は 8.28 g で平均では 7.72 g となる。古野(1963)は針葉の餌食量は排糞量の 1.25~1.38 倍にあたると述べている。この排糞重量 7.72 g は越冬後の数値であるため、越冬前も含めて考えると古野ら(1971)のいう幼虫 1 頭当たりの全餌食量 11.75 g にほぼ一致する。この摂食量を基準にして樹齢に対応した単木ごとの葉乾重

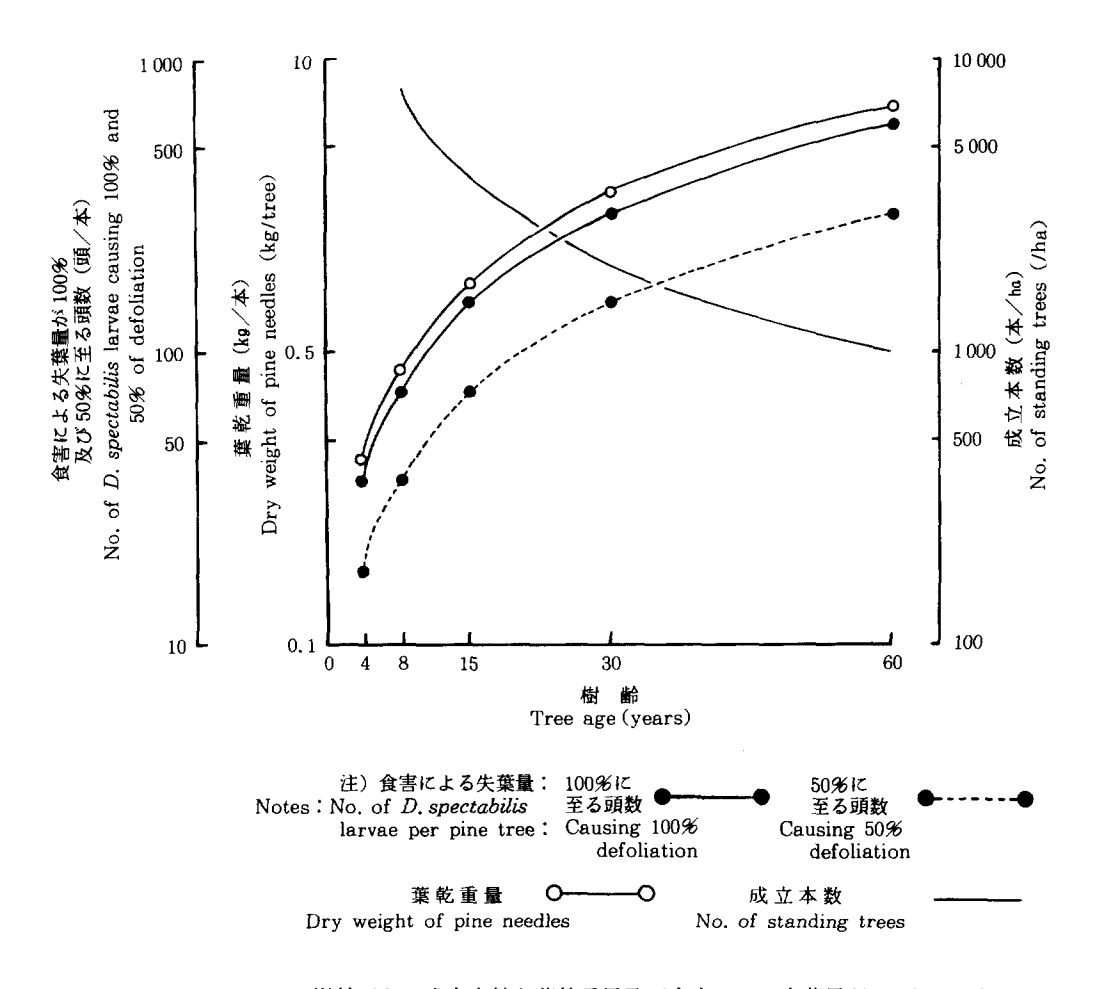


Fig. 18. アカマツの樹齢ごとの成立本数と葉乾重量及び食害による失葉量が 100%, 50% に 至る頭数との関係

Relationship between tree age and the number of trees in red pine stands, and relationship between tree age and the number of *Dendrolimus spectabilis* (BUTLER) larvae causing 100% and 50% defoliation, respectively

量から摂食可能な頭数を,食害による失葉量にして 100% に至る頭数と 50% に至る頭数に分けて求めると,それぞれ Fig. 18 の黒丸で結んだ線のようになる。

古野,四手井(1963)はアカマッの摘葉量が50~60%では25%前後の成長減退が起こると報告している。

著者は 1982 年 6 月岩手県胆沢郡胆沢町において,アカマッ 9 年生林(樹高 1.0~2.0 m) に 1 本平均 33 頭,12 年生林(樹高 2.0~3.0 m) に 1 本平均 62 頭の幼虫が加害しているのを観測したが,2 年葉及び 1 年葉ともほとんど食害されて枯死した立木もみられた。また,岩手県岩手郡滝沢村のアカマッ60 年生林(胸高直径 26.0 cm,樹高 21 m)で樹幹紙巻法によって越冬幼虫を調査し,1 本当たり平均

約 308 頭を捕獲した。この林分で越冬後から営繭開始期までの排糞量を調査し、 $1.8\,t/ha$ の落下量が観測された(山家、1984)。この落下量は越冬時の推定幼虫数 308 000 頭/ha の排糞量 $2.37\,t$ (1 頭平均 $7.72\,g$) に比較するとやや少ない数値であったが、実際の被害としては 2 年葉がほとんど食害された。

以上の例からも分かるように、単木の失葉量で 100% あるいは 50% に至る頭類として表した Fig. 18 の曲線は、野外林分にもあてはまるものと考えている。一方、調査時の気温と 1 m^2 当たりの落下した糞数がどのくらいなら、食害が 50% あるいは 100% に達するかを Fig. 18 に基づいて試算したのが Table 14 である。これは先に述べたように葉乾重量を 6.8 t/ha、幼虫の摂食量を 11.75 g/ 頭とすると、100% 食害に要する推定頭数は 578723 頭/ha になる。幼虫の発育零点は東北地方の平均値が 9.1% であることから、平均気温 10% のときの発育有効積算温量は 0.9%、このときの 1 頭 1 日の排糞数は 2.23 個である。従って、100% 食害されるときの 1 m^2 当たりの推定頭数は 57.87 頭になることから落下糞数は 129 個となる。古野・四手井(1963)はアカマツの摘葉量が $50\sim60\%$ では 25% の成長減退を起こすとしている。これを超えた場合を要防除水準とすると、平均気温 10% では 65 個/ m^2 /日以上であれば防除を必要とすることになる。

Table 14. 推定食害量が 50%及び 100%となる時の落下糞数($個/m^2$) No. of frass pellets causing 50% and 100% defoliation respectively.

調査時の平均気温	推定食害量が 50%に達する落下糞数	推定食害量が 100%に達する落下糞数
Temperature (°C)	個 No. of frass pellets causing 50% defoliation	個 No. of frass pellets causing 100% defoliation
10	65	129
11	137	272
12	209	416
13	281	560
14	353	703
15	425	847
16	497	990
17	569	1 134
18	641	1 277
19	713	1 421
20	785	1 564

6 お わ り に

東北地方におけるマツカレハ被害発生の動向,その被害の実態解析,越冬後幼虫の発育経過と排糞数, 林内幼虫の落下糞数による生息密度の推定、及び防除基準としての被害許容水準などについて述べた。 しかし、東北地方における越冬後幼虫の発育速度のばらつきや、2 化地帯の幼虫の発育速度の地理的変 異についてはまだ未解明の部分が残された。これらが解決されることによってさらに高い精度の密度推 定ができるものと考える。

一方、マツカレハの被害は枯損木の発生を伴うなど激害化している。特にマツ材線虫病発生地とその 周辺では,被害木が本病の感染源となることに十分警戒する必要がある。こうしたことから,特にマツ 単純林が集団を形成しているような地域では,マツカレハの生息数の推移を調査して,要防除水準に達 した場合には速やかに防除措置をとることが、枯損木の発生やマツ材線虫病の侵入、拡大防止の面から も望ましいと考える。

7 摘 要

本論文では、東北地方におけるマツカレハ被害の発生とその生息密度の推定法について調査解析した 結果を報告した。

(1) 東北地方におけるマッカレハ大発生の推移と最近の被害の特徴(Fig. 1, 2)

東北地方におけるマツカレハの大発生の記録は古く,1886 年福島県下で初めて報告されている。そ の後岩手県に 1912年、1928年、1932年、1934~1935年と続いて大発生が記録されている。第二次世 界大戦後の被害は1954年が最も多く、その後は増減を繰り返しながら1965年より減少し、低密度で推 移し、1975年に突発的に増加するが、その後は再び低密度となった。しかし、1982年以降増加傾向を 示し、1986年には再び増加し、現在は低密度である。

これまでの調査から被害発生地は、丘陵のアカマツ単純林や海岸クロマツ林であることが多い。この ような地域では今後十分に警戒すべきである。最近のマツカレハの大発生による被害の特徴は,大面積 にわたる枯損被害が起こることである。この原因の一つとして黄彊病の罹病率の低下が考えられた。

(2) 被害実態の解析 (Fig. 3, 4; Table 3-8)

1985 年岩手県胆沢郡衣川村造林地において発生したマツカレハによる被害と被害枯死木における穿 孔性害虫の生息状況について調査を行った。穿孔性害虫の主要種はマツノムツバキクイムシ,マツキボ シゾウムシ、シラホシゾウムシ属、ニトベキバチ、キイロコキクイムシであった。穿孔性害虫の種構成 から、枯損経過を検討してみると、激害林では 1984 年秋以前からマツカレハ幼虫の食害が激しくなり、 翌 1985 年には越冬した幼虫の食害がさらに衰弱木を増やす結果になったものと考えられた。微害林で は被害2年目も枯死木の数は減らず,被害3年目もまだかなり多かった。これは枯死木が比較的下層木 であったことから衰弱が徐々に進み枯死の時期がそろわなかったためと考えられた。また,両林区とも 枯損に至るような衰弱木の発生は被害2年目までにおさまったものと考えられた。

(3) 摘葉による枯死時期の判定 (Fig. 5, 6: Table 9, 10)

幼虫の食害程度と食害時期が衰弱枯死にどう影響するかを、針葉の摘葉のモデル試験で確めた。その 結果、衰弱、枯死木の発生は、秋期までに全葉が食害されることによって起こることが示された。

(4) 林内幼虫の排糞落下消長からみた生息密度推定の時期(Fig. 8)

幼虫の排糞数から生息密度を推定するため、アカマツ林内で排糞の落下消長を調査した。生息密度推定の時期としては、防除措置などを考慮すると、越冬後第1回脱皮前のピーク時が最も適当であることが分かった。

(5) 越冬幼虫の生息密度推定の時期の排糞数 (Fig. 15)

生息密度推定の時期として最適と思われる越冬後第1回脱皮前のピーク時の1頭1日度当たりの排糞数は2.48個であった。

(6) 落下糞数による生息密度の推定 (Fig. 17)

林内の幼虫の排糞数を調査する時期は、ソメイヨシノの開花時期が最適であることが分かった。従って、この開花日を基準に単位面積当たり落下糞数を、1頭1日度当たりの排糞数2.48個に調査日の有効温量を乗じた数値で除すことによって、生息数が推定できた。

(7) 防除基準としての被害許容水準 (Fig. 18; Table 14)

食害量が 50% を超すと成長が減退するといわれていることから,これを基準に防除を考慮する必要がある。そこで,食害量が全針葉の 50% に達するような,マツカレハ幼虫の密度を,単位面積(m^2) 当たりの落下糞数から推定する方法を示した。

引用文献

藍野祐久:マツカレハ発生消長調査、森林防疫ニュース、6,178~180(1957)

青木襄児ほか: 黄彊病症状を現わす数種昆虫病原糸状菌の蚕に対する病原性とその和名, 日本蚕糸学会雑誌, 44, 365~370 (1975)

古野東洲:マツカレハ幼虫の餌食量について、日林誌、45、368~374(1963)

土生昶毅:マッカレハの生活環の地理的変異, 応動昆, 20, 55~60 (1976)

五十嵐豊:マツカレハ, 林業と薬剤, 82, 1~20(1982)

神谷一男:松蛄蟖の発生と環境との関係(予報)応動,7,53~55(1953)

木村重義:昭和 26,27 年管内に発生した森林害虫(1),林業試験場青森支場だより,24(1952)

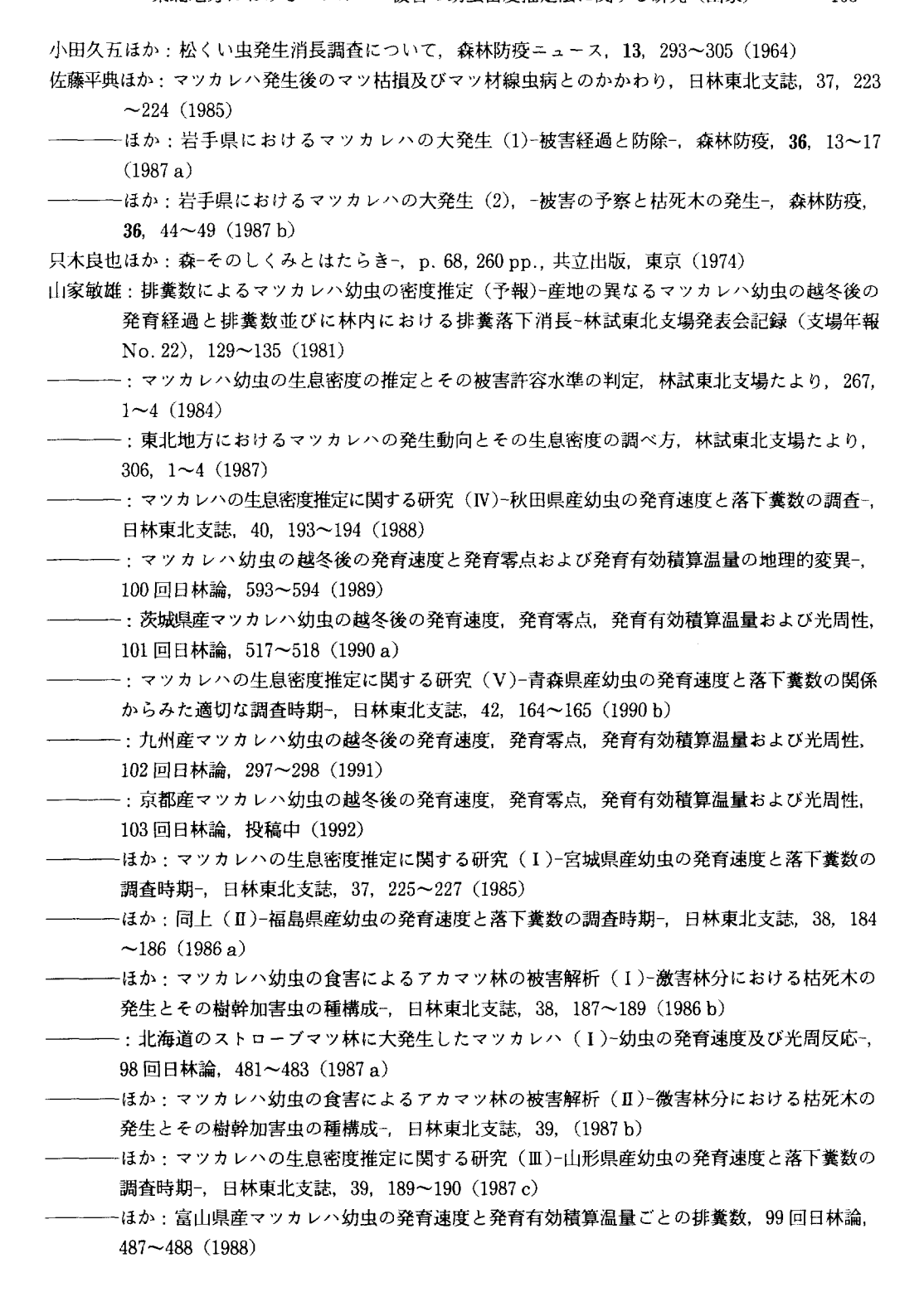
近藤秀明ほか:マツカレハの発生と林分構成状態,森林防疫ニュース,10,123~126(1953)

------ほか:マツカレハの発生量の変動と環境因子,森林防疫ニュース, 12, 253~257 (1963)

倉永喜太郎: 九州地方におけるマツカレハの個体群動態, 日林誌, 57, 176~183 (1975)

宮下和喜: 害虫の大発生年報, 植物防疫, 15、75~81(1961)

日塔正俊ほか:マッ類の穿孔虫に関する研究-穿孔虫の産卵加害虫の対象木についての考察-,77回日林論,376~379 (1966)



Studies on Pine Defoliation by *Dendrolimus spectabilis* (Butler) and Estimation of the Larval Density in Tohoku District

YANBE, Toshio (1)

Summary

This paper first analyzed certain characteristics of *Dendrolimus spectabilis* outbreaks, then investigated the dying process of pine trees after defoliation by the species, and finally developed a method for estimating the larval density and determined a tolerable injury level.

(1) Annual changes of defoliated areas and characteristics of recent outbreaks

The outbreak in Tohoku District was first recorded in Fukushima Prefecture in 1886. Before World War II, outbreaks occurred in Iwate Prefecture in 1912, 1928, 1932, and 1934-1935. After 1945 the annual defoliated areas in Tohoku District have changed as follows: the areas after 1965 were smaller than those recorded earlier and three conspicuous peaks were observed in 1954, 1975 and 1986.

The outbreaks have a tendency to occur in pure stands of Japanese red pine, *Pinus densiflora* (Sieb. et Zucc.), on moderate slopes and those of Japanese black pine, *P. thunbergii* (Parlatore), along the coast.

Many defoliated pine trees died in recent outbreaks although it had been reported that pine had seldom died from the defoliation. One possible reason is that the parasitic fungus, *Bauveria bassiana*, is not so prevalent during outbreak periods as in the past.

(2) Defoliation and death

In 1985, I investigated defoliation by *D. spectabilis* and the community of insect borers in dead pine trees at Koromogawa, Iwate Pref.. The defoliation continued for two years; young larvae defoliated trees in the autumn of 1984 and they further defoliated them after overwintering in 1985. Predominant species of the community were *Ips acuminatus* (Gyllenhal), *Pissodes nitidus* (Roelofs), *Shirahoshizo* spp., *Sirex nitobei* (Matsumura), and *Cryphalus fulvus* (Niijima). The community structure differed greatly according to the defoliation level. Defoliated pine trees weakened very rapidly in heavily infested stands, and hence almost all of the weakened pines died in 1985. Defoliated pines however weakened slowly in the moderately infested stands. Almost the same number of pines died in 1986 as in 1985, and some pine died even in 1987.

(3) Experiment of artificial defoliation

Experiments of removing pine needles proved that the complete defoliation in the autumn of 1984 weakened the pine trees and caused their death.

(4) Method for estimating larval density from fallen frasses

Seasonal changes of the frass of D. spectabilis in the Japanese red pine stands were

Received March 26, 1992

⁽¹⁾ Tohoku Research Center

investigated. With regard to control, the optimum timing for density estimation should be at the peak of frass production before the first ecdysis after overwintering. The peak coincided with the blooming period of cherry blossoms, *Prunu yedoensis*. The number of frass pellets produced at the peak was 2.48 per day degree per individual. The following equation gives the larval density.

$$Density = \frac{No. \text{ of fallen pellets per m}^2}{2.48T}$$

, where T is a cumulative effective temperature index.

(5) Tolerable injury level

Pine growth began to reduce when the defoliation exceeds 50% of all needles, therefore 50% defoliation should be a tolerable injury level for control treatment. Method for estimating larval density level which caused 50% defoliation was developed based on number of fallen pellets.



Photo 1. 越冬前の幼虫 A larva before overwintering



Photo 2. 終令幼虫 A last instar larva



Photo 3. 衣川村の大発生地(矢印は激害地) Outbreaks in Koromogawa (Arrows indicate the heavily infested stands)



Photo 4. 幼虫の食害をうけた激害林 (1) Heavily infested stand (1)



Photo 5. 幼虫の食害をうけた激害林 (2) Moderately infested stand (2)